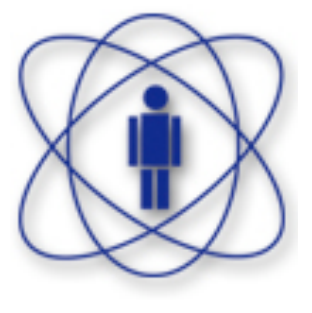


## MICROSCOPIA ELETRÔNICA

## ANDRÉ LUIZ PINTO



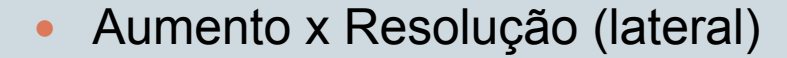
**CBPF** 

#### Roteiro



- Introdução
- Fundamentos
  - Fontes de elétrons
  - o Lentes de elétrons
  - o Interação elétron-matéria
- Microscópio Eletrônico de Varredura
- Microscópio Eletrônico de Transmissão
- Aplicações à Nanotecnologia
- Comentários Finais
  - LabNano

#### Opções para visualizar a microestrutura



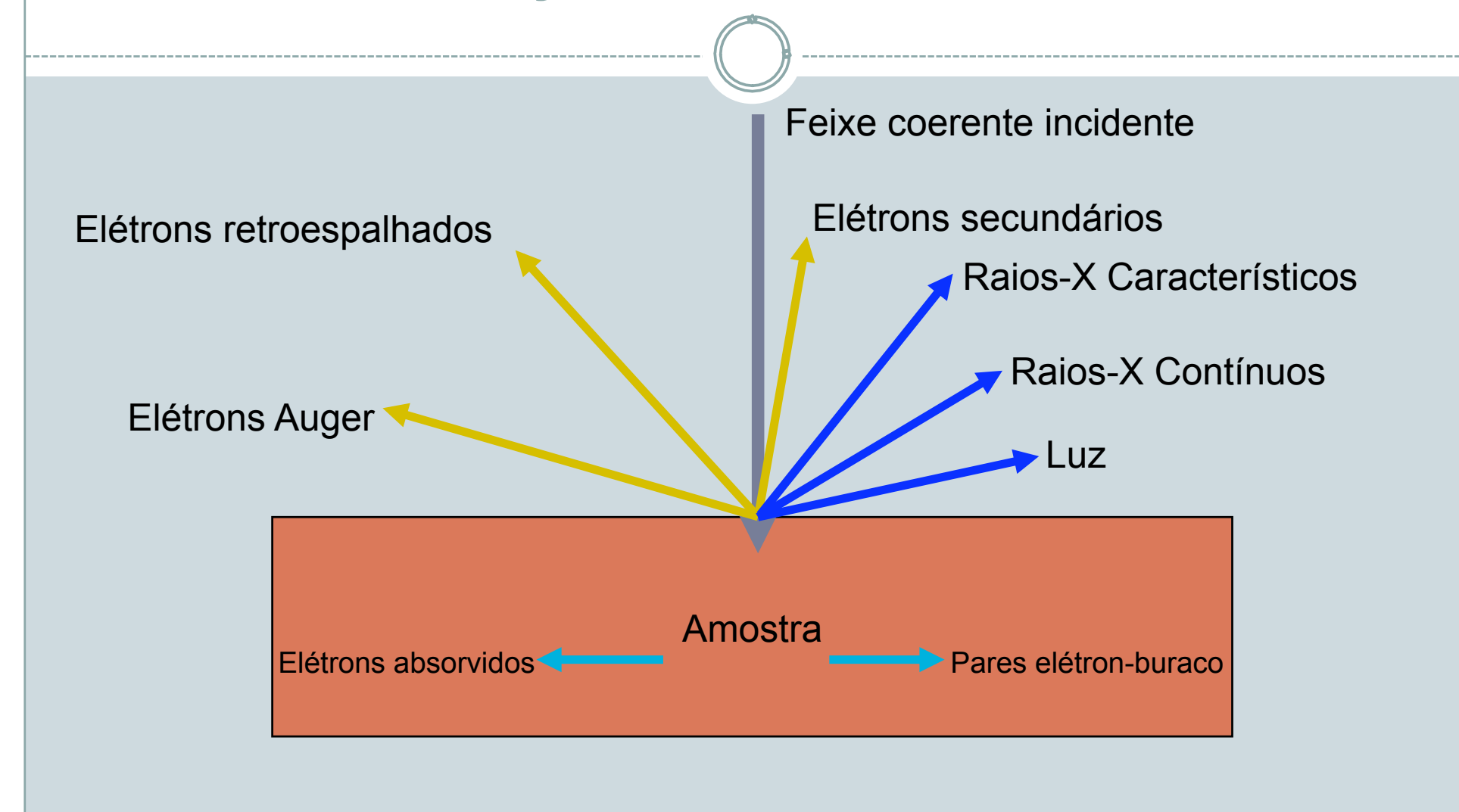


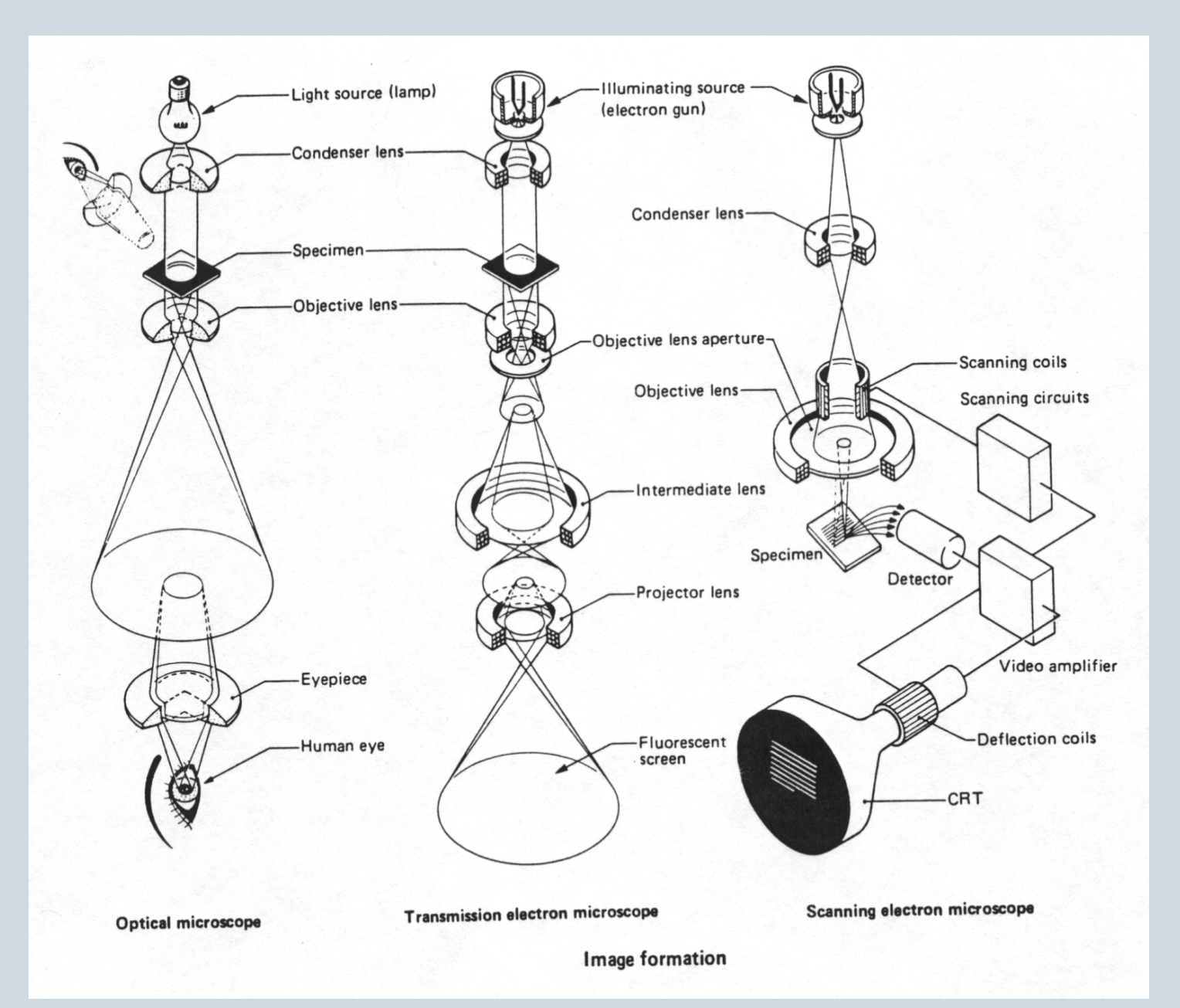




- Olho humano 0,1 mm
- Microscopia Ótica 0,5 μm
- Microscópio Eletrônico de Varredura (MEV) 1 4 ηm
- Microscópio Eletrônico de Transmissão (MET) 0,8 1,4 Å
- Microscópio de Ponta de Prova (SPM) 0,3 Å

#### Interação Elétron-Amostra





# Microscopia Eletrônica de Varredura



Jeol

## Câmara

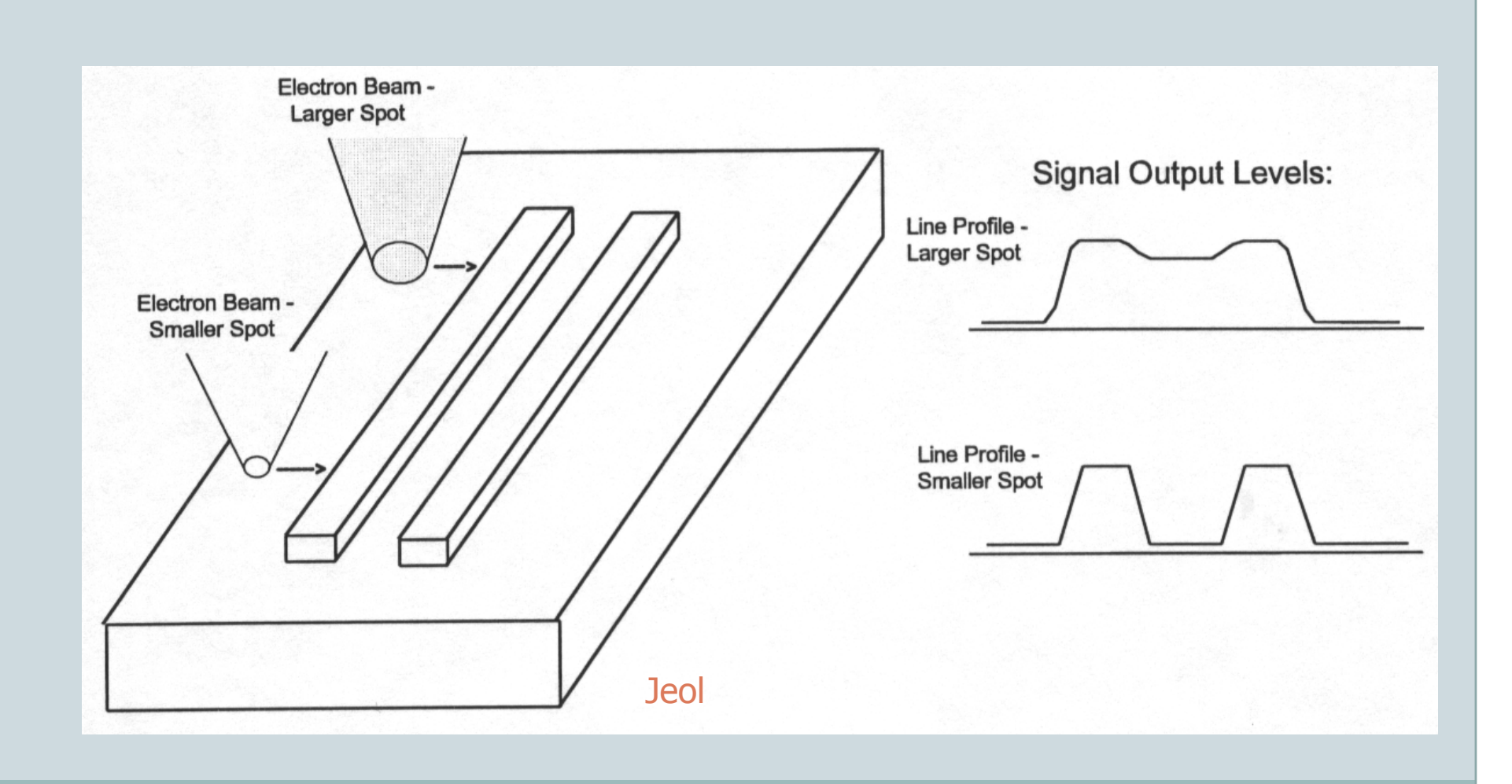


#### Microscopia Eletrônica de Varredura

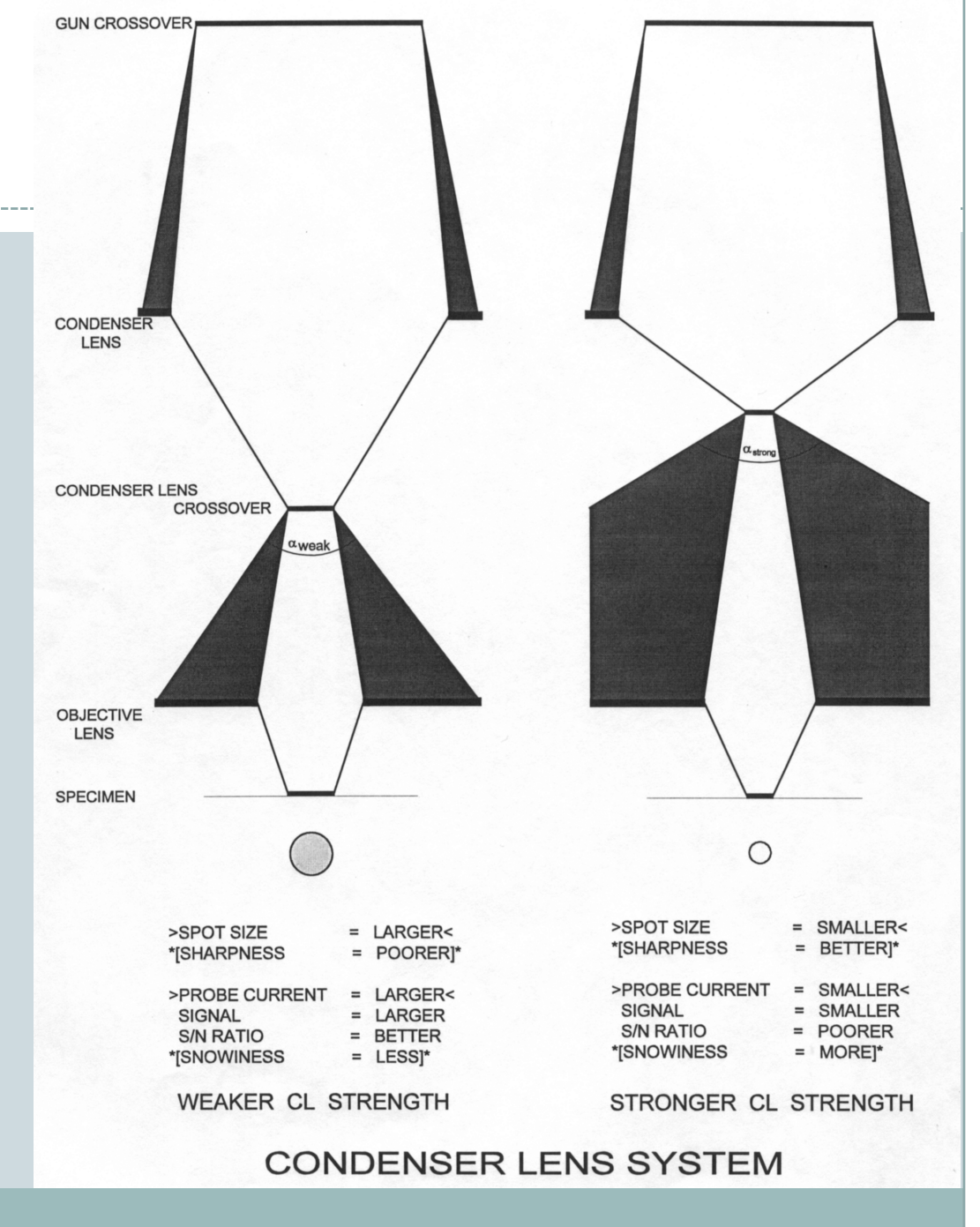
Jeol Goldstein et alli, 2003 Detector SPECIMEN MAGNIFICATION No MEV, o aumento é dado pela relação entre as dimensões varridas na amostra e as dimensões da tela.

## "Spot Size" e Resolução



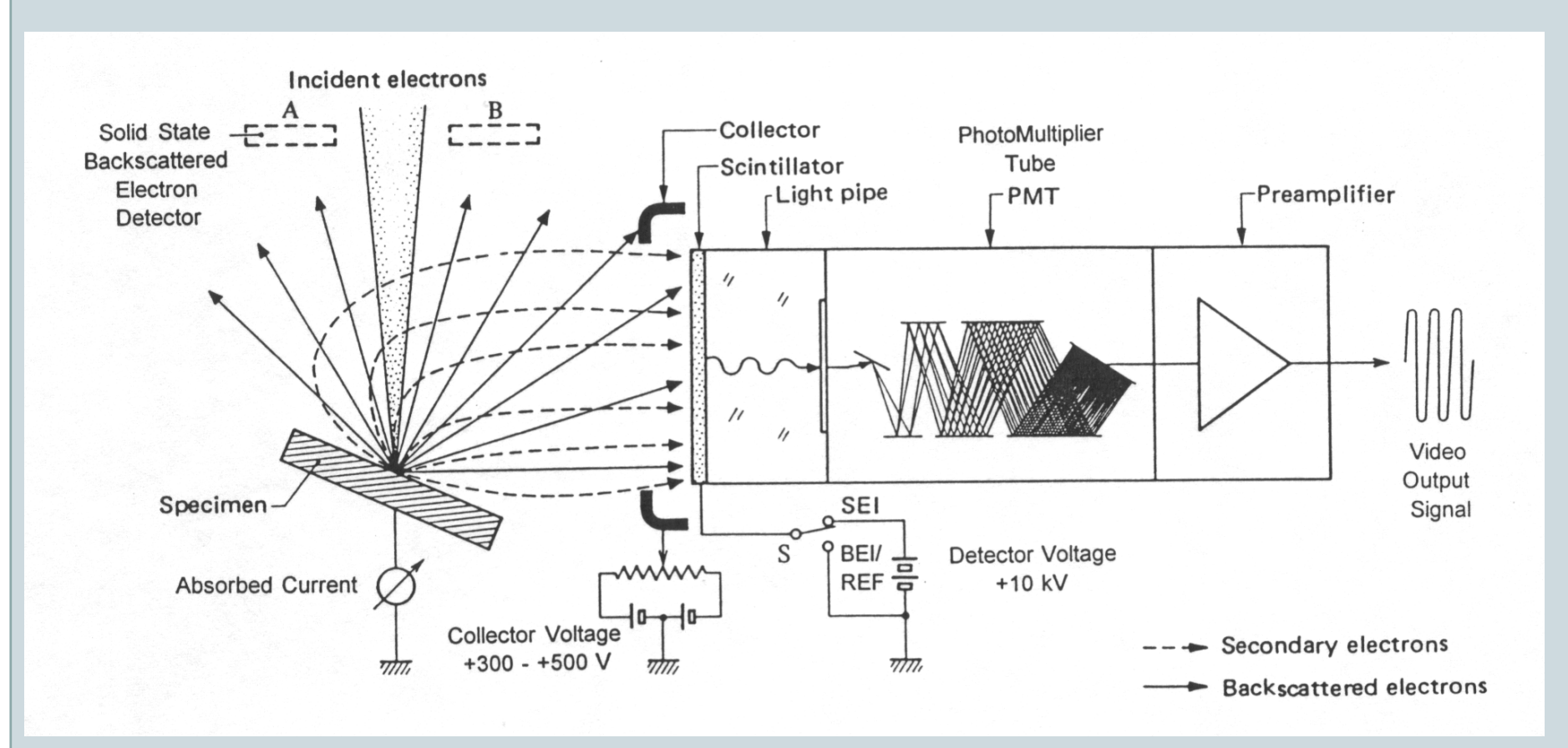


# "Spot Size" e Qualidade



Jeol

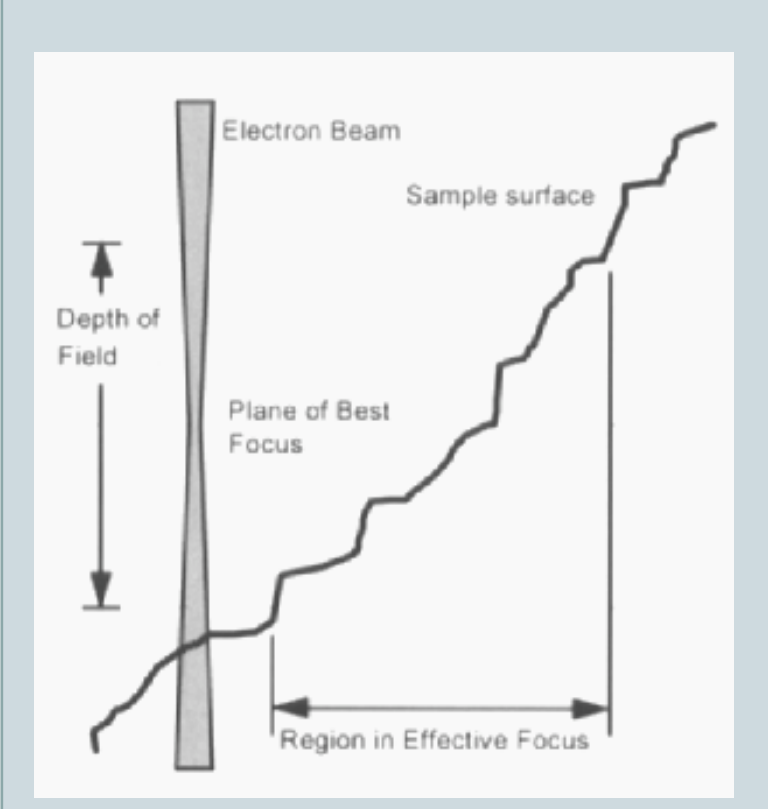
#### Detectores de Elétrons Secundários

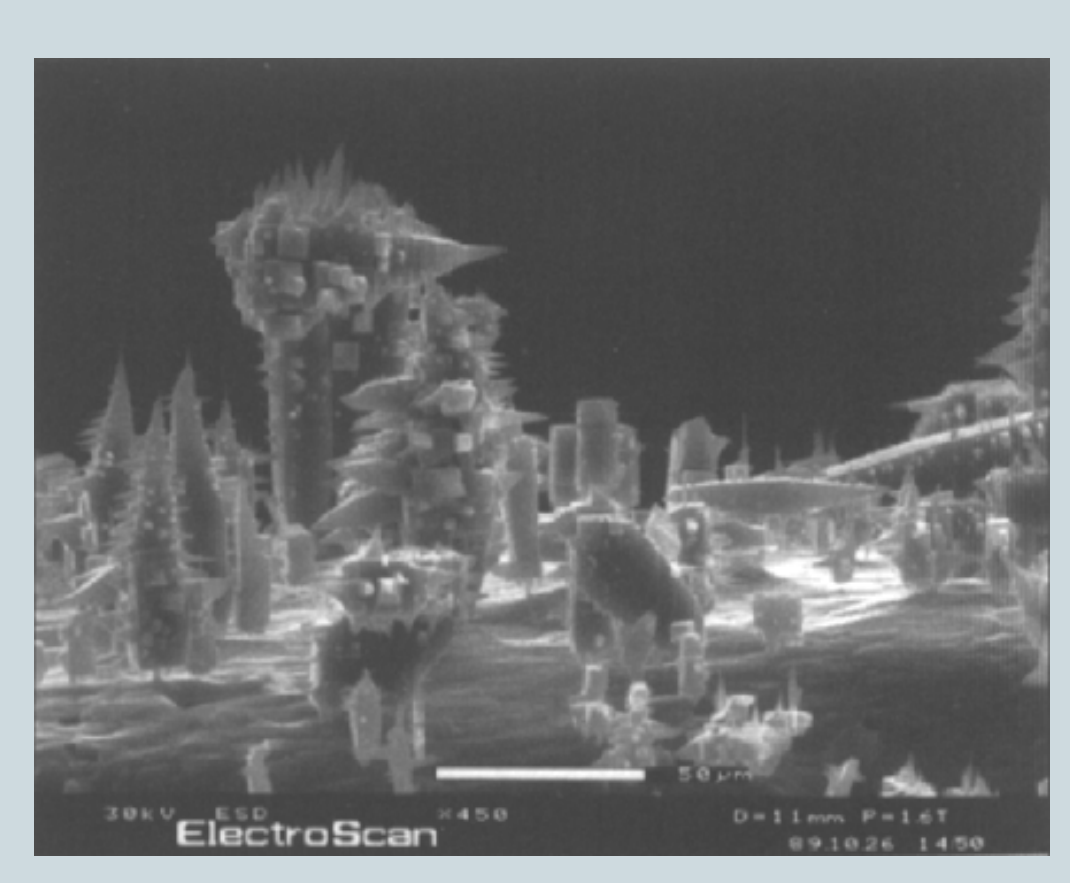


Detetor de Everhart-Thornley

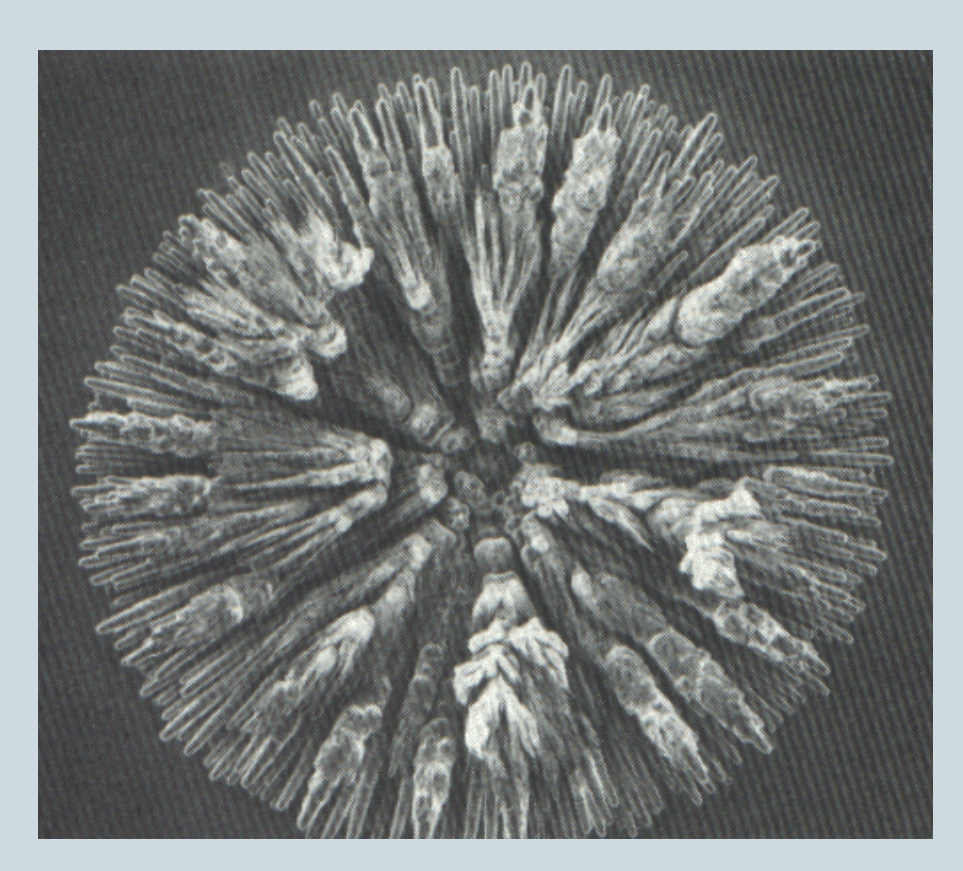
#### Detectores de Elétrons Secundários

- Cintilador utilizado é um YAG (yttrium-aluminium garnet) dopado com Ce, para obter menor tempo de decaimento (ηs ao invés dos μs do ZnS)
- Ganho da fotomultiplicadora de 10<sup>n</sup>, dependendo de qtos n dinodos estão presentes
- Ganhos de 10<sup>8</sup> são comuns, logo o nível de ruído é baixo
- Velocidade de resposta compatível com as taxas de imagem de TV
- Bx eficiência energética (1 e⁻ de 100kV gera 4.000 fótons)





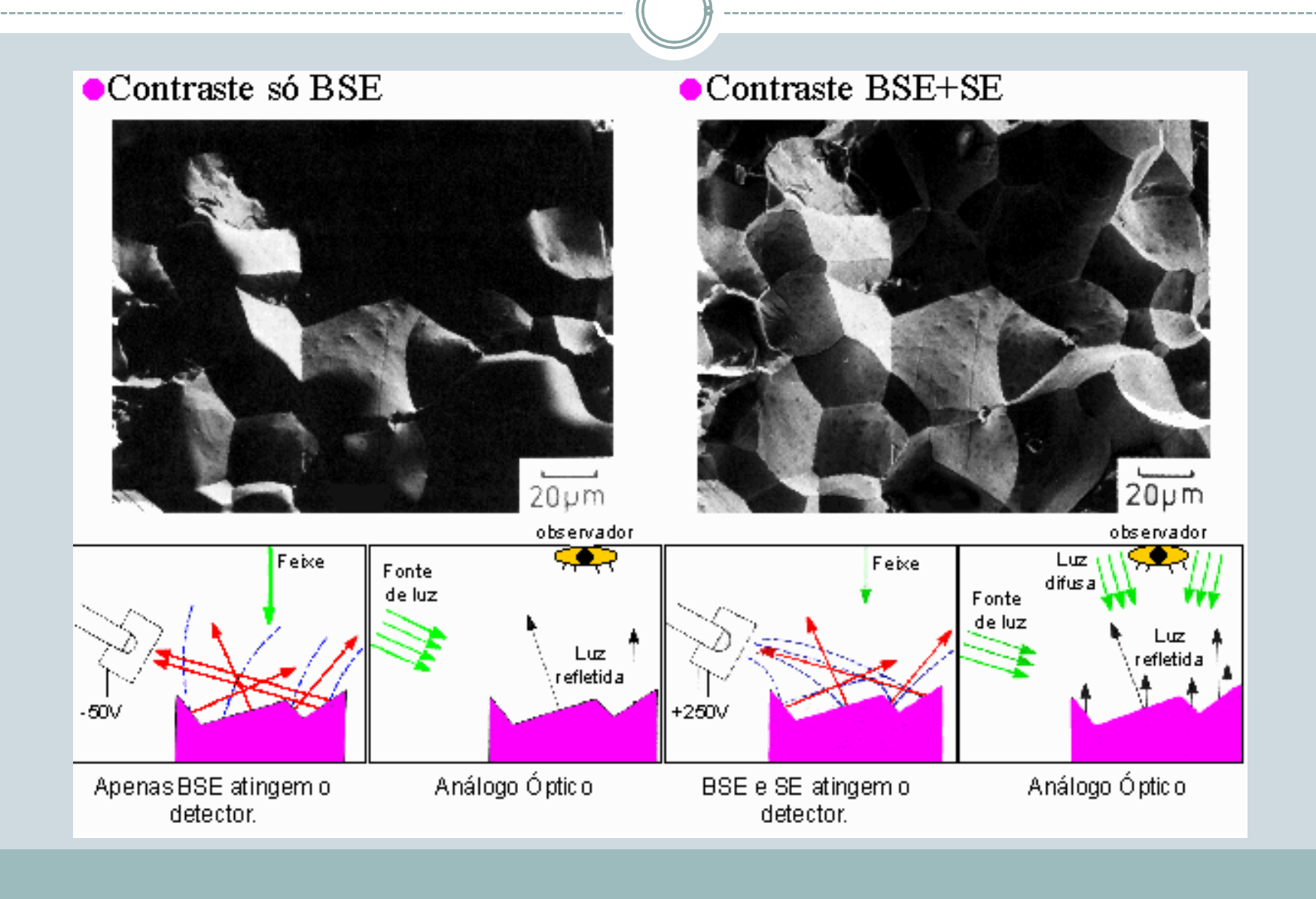
Profundidade de Campo >> Resolução

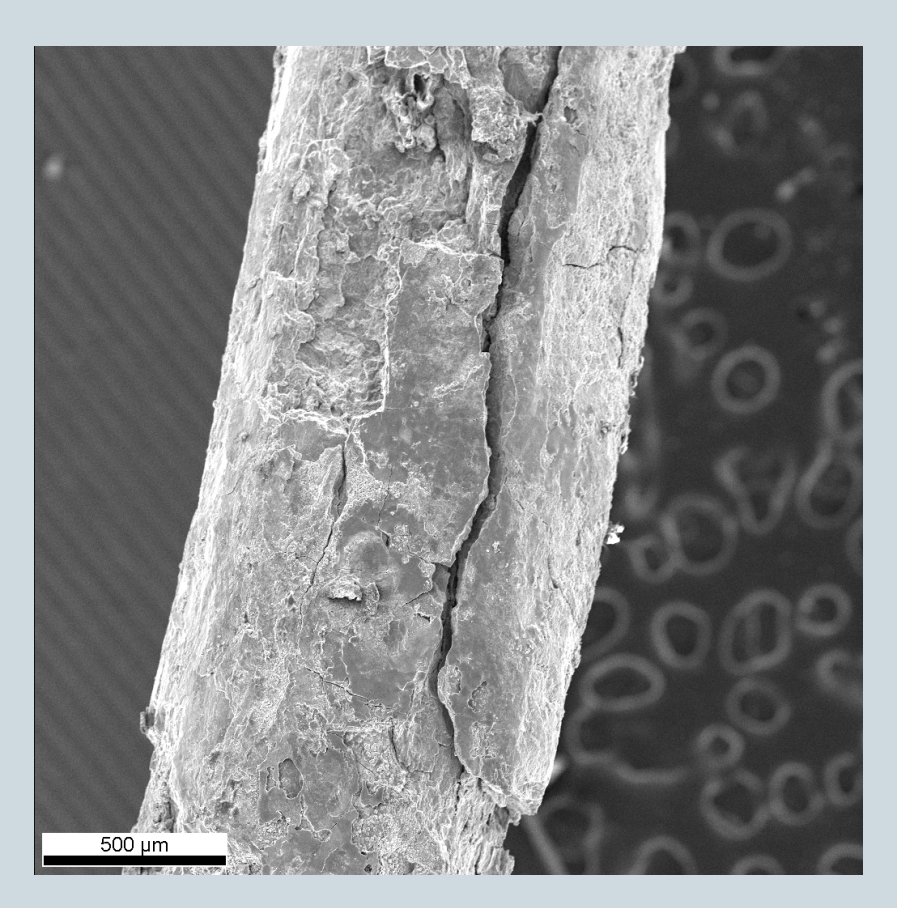


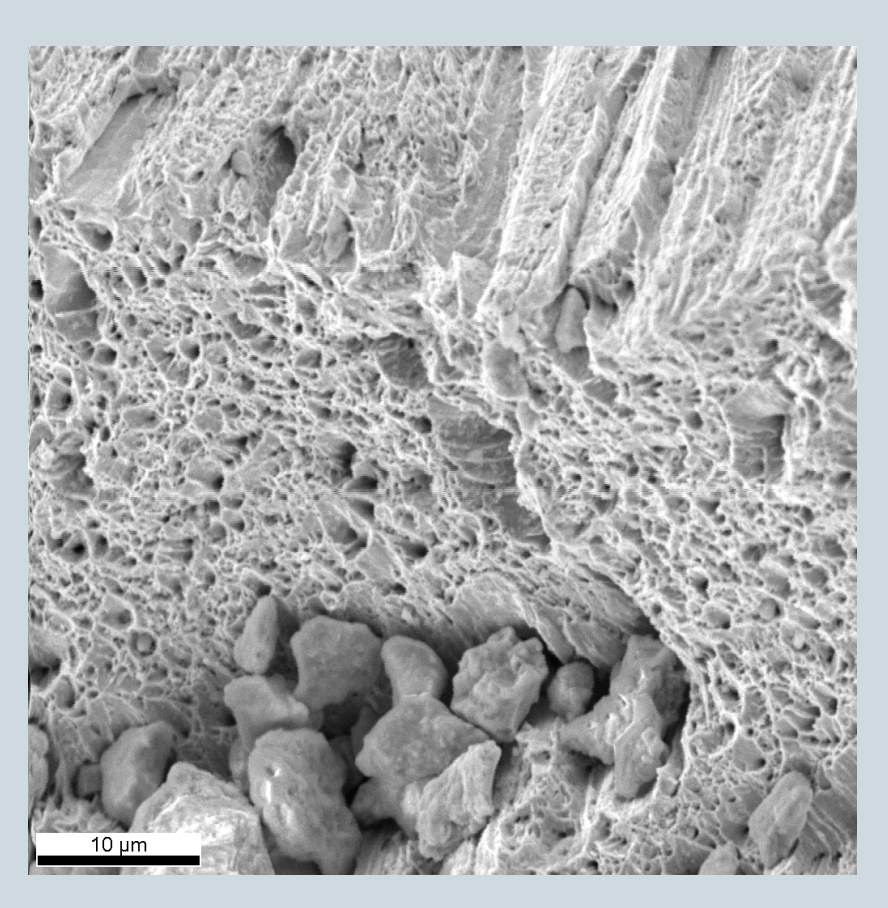
Gota de Au aplicada por "jet spray Electroplating".



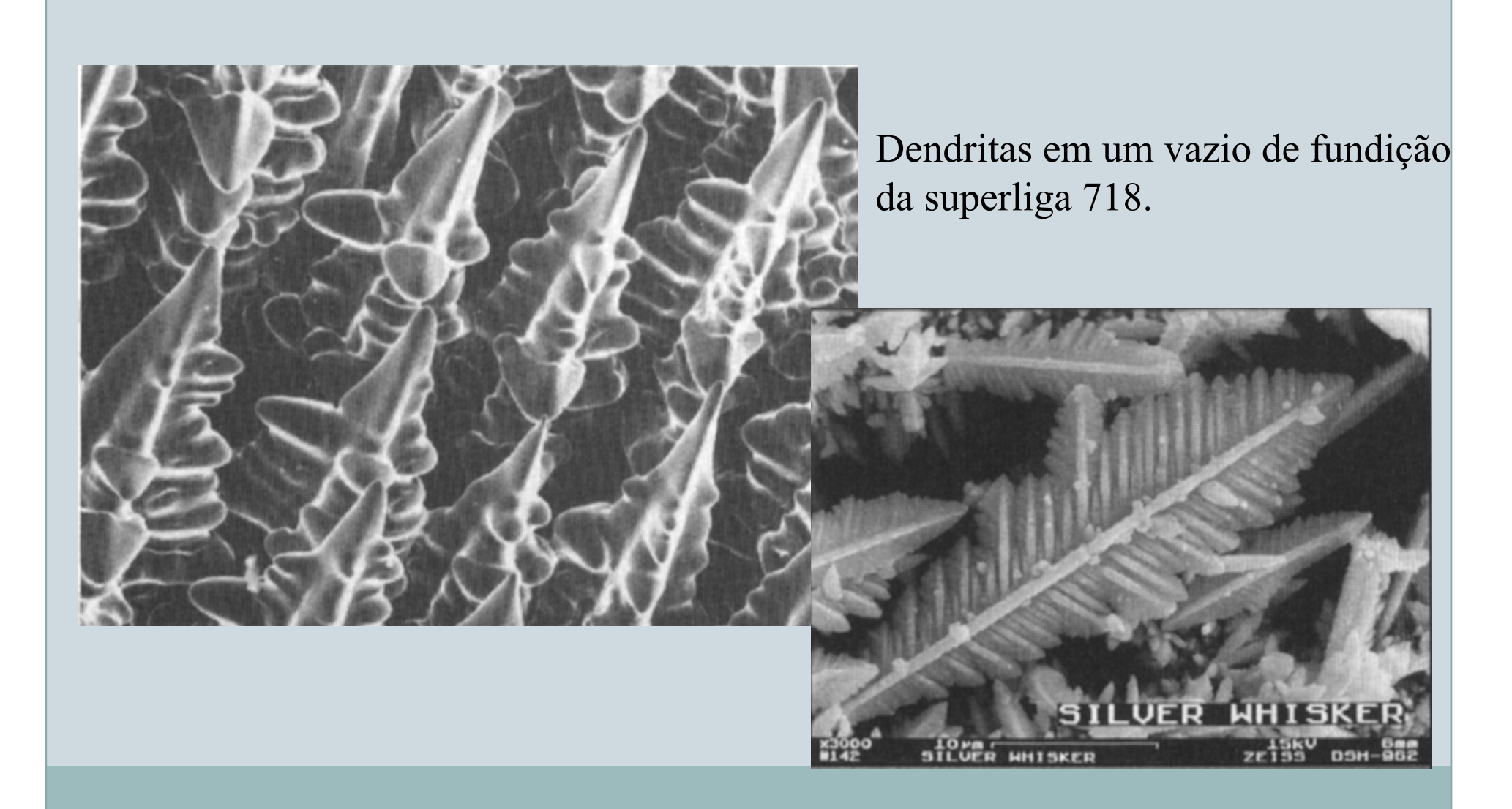
Thalamoporella stapifera.



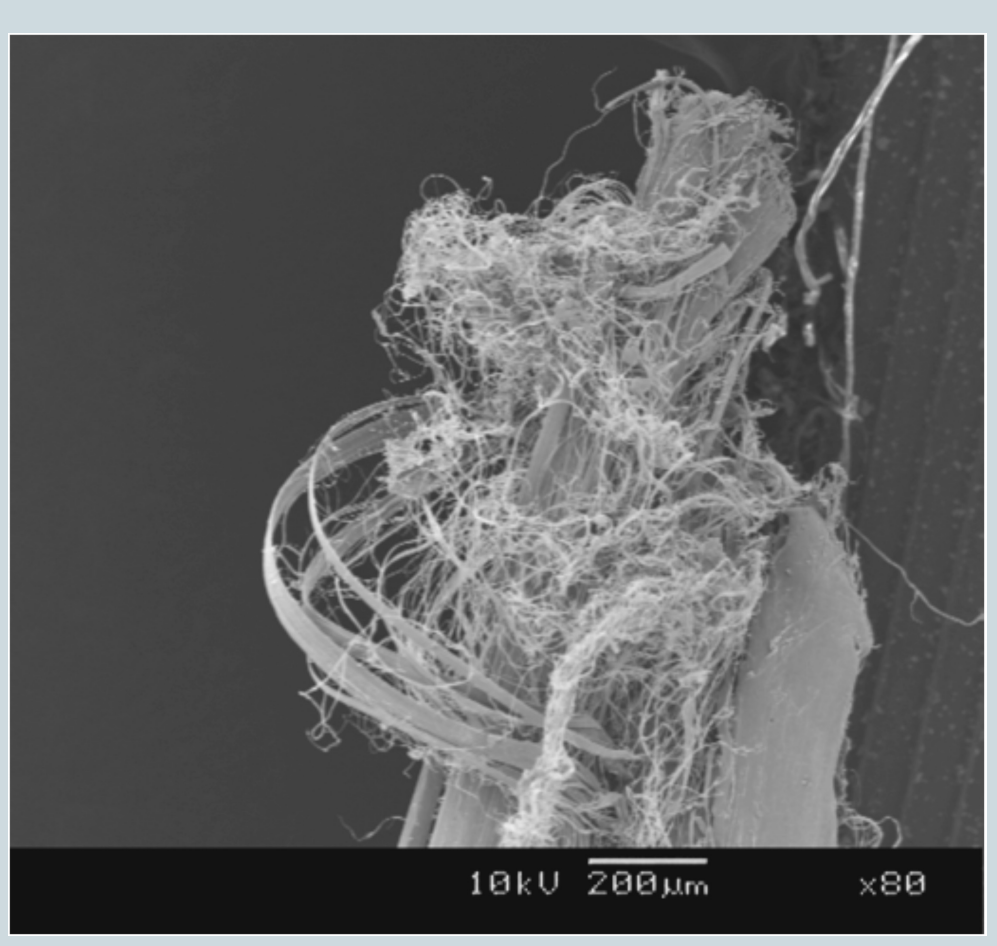




Análise de falha em cabo de aço.

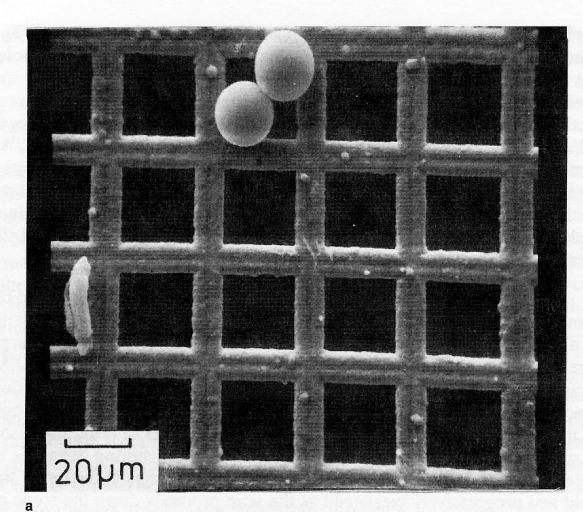


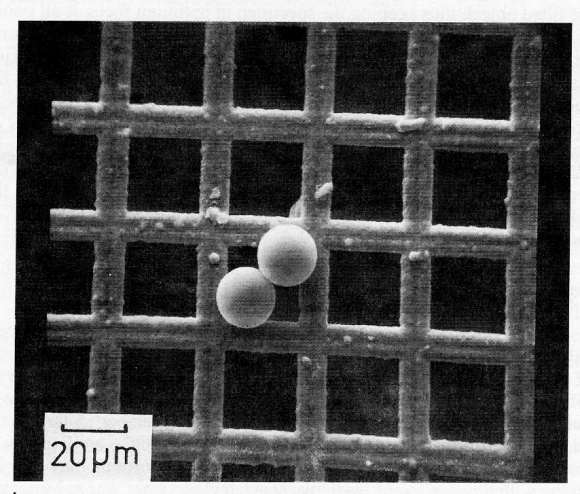


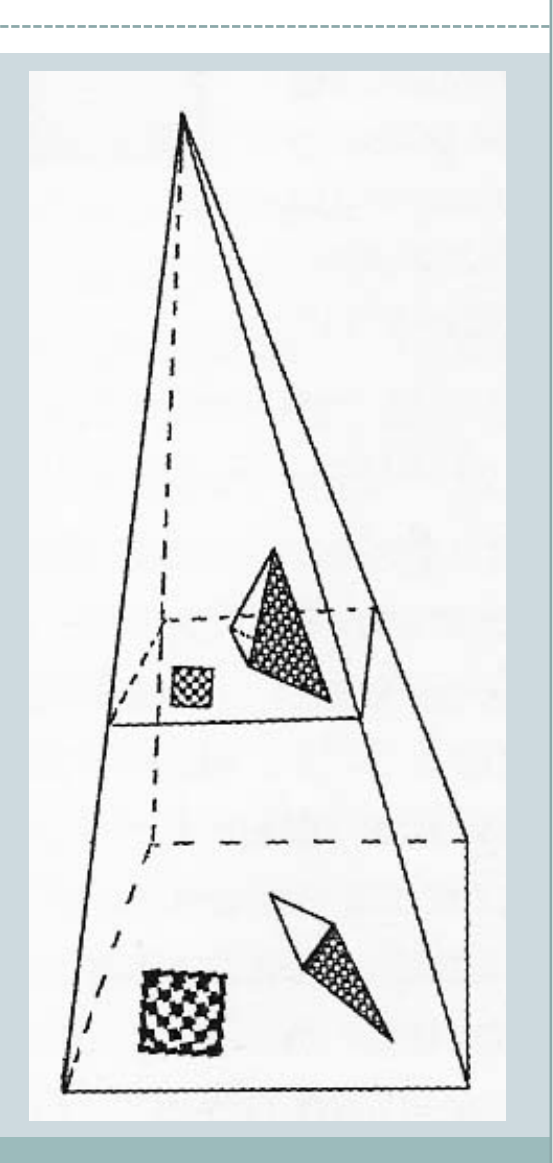


Placa de Armodon (UHMW-PP) submetida a Impacto balístico.

# Perspectiva Cônica

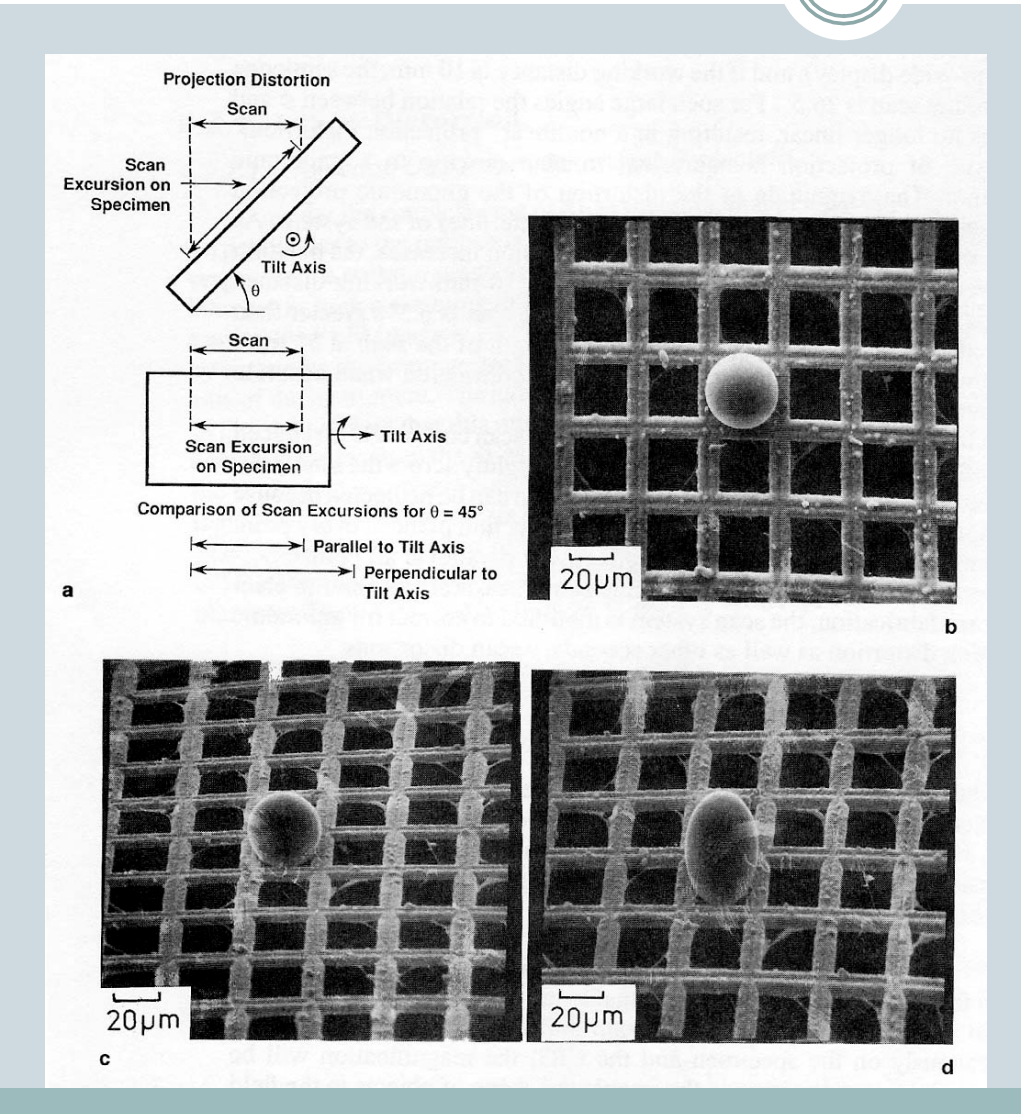




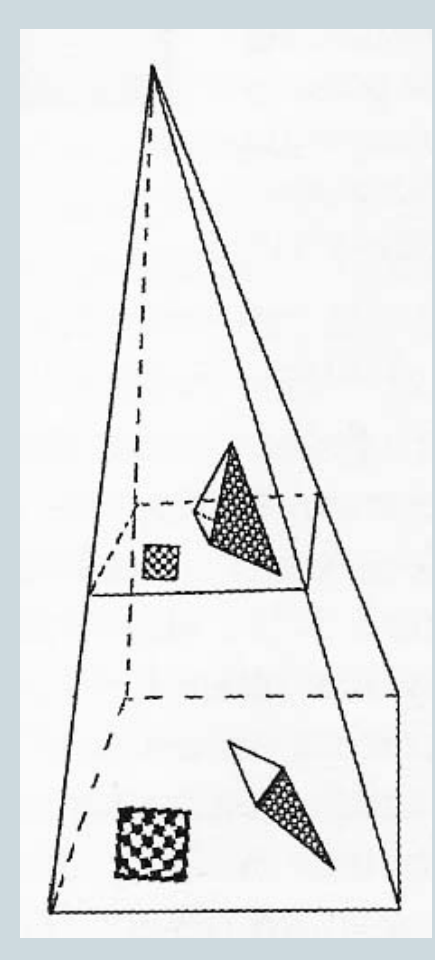


Goldstein

## Perspectiva Cônica



**0**°



Goldstein

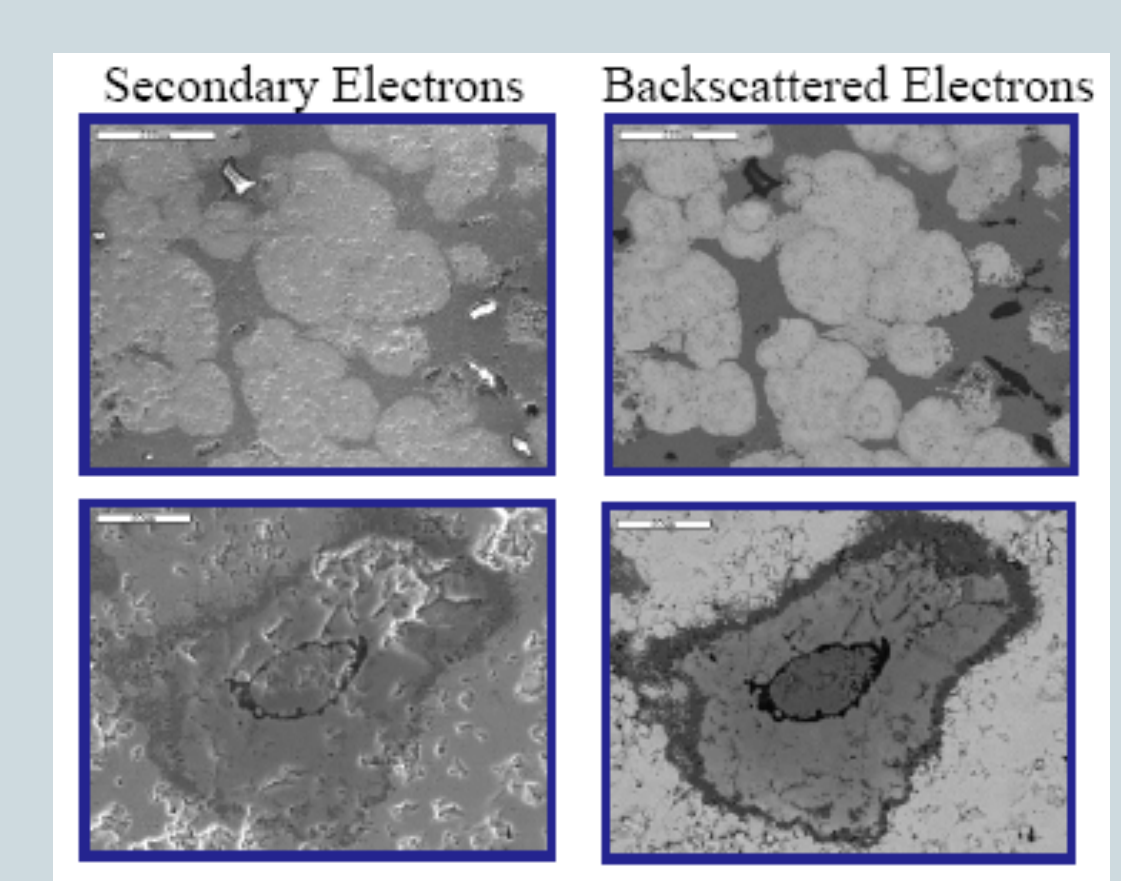
55° com correção

55°

#### Imagem de Elétrons Retroespalhados

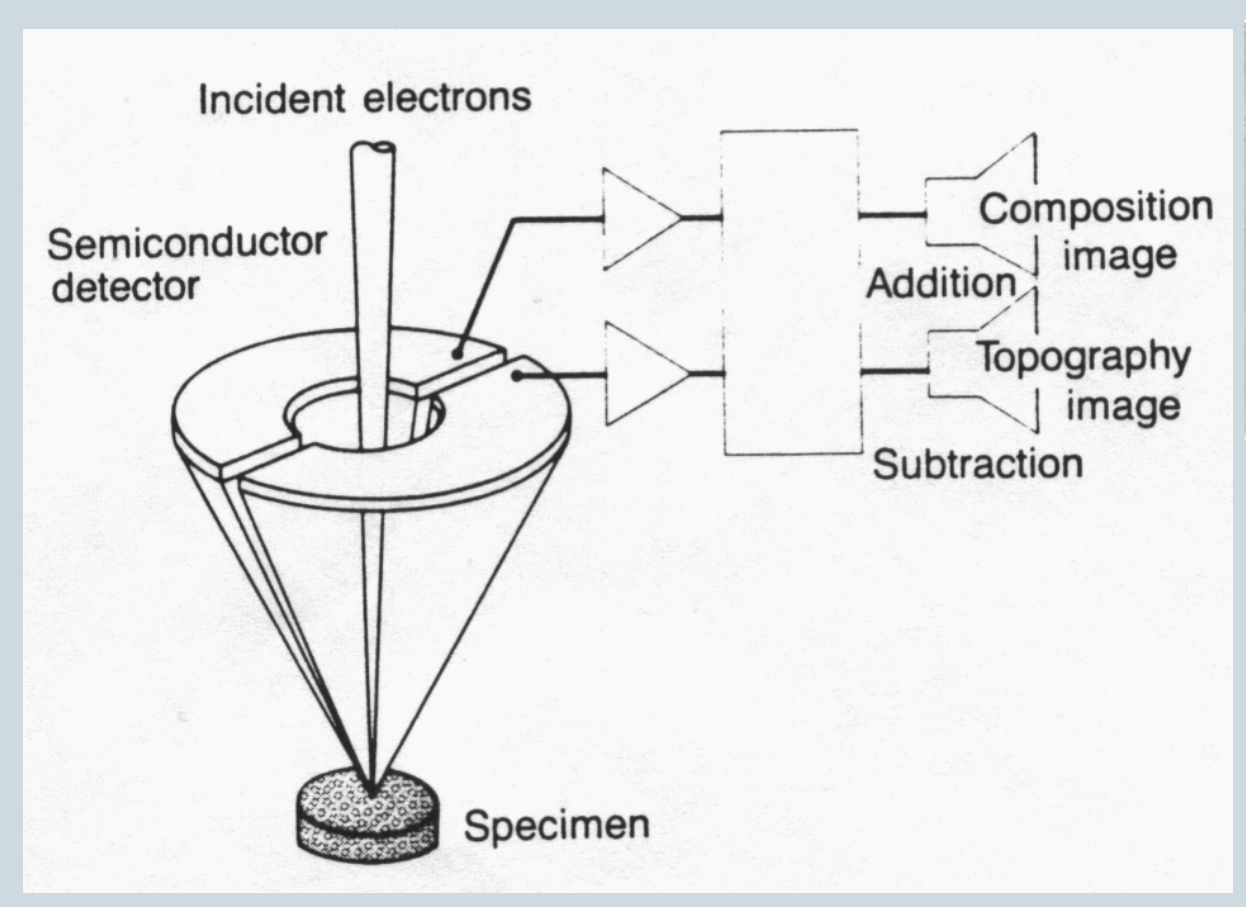
22

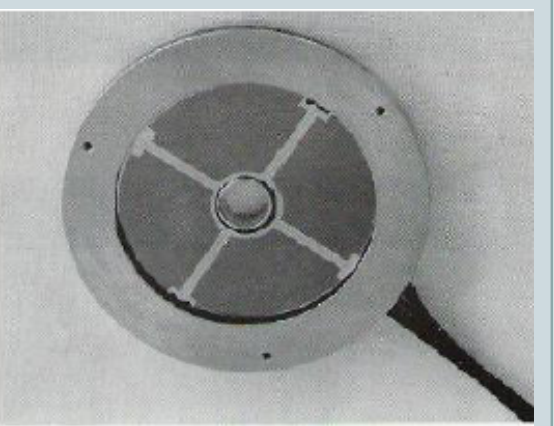
➤ Contraste de Z



Goldstein

## Detector de e<sub>BSE</sub> de Estado Sólido



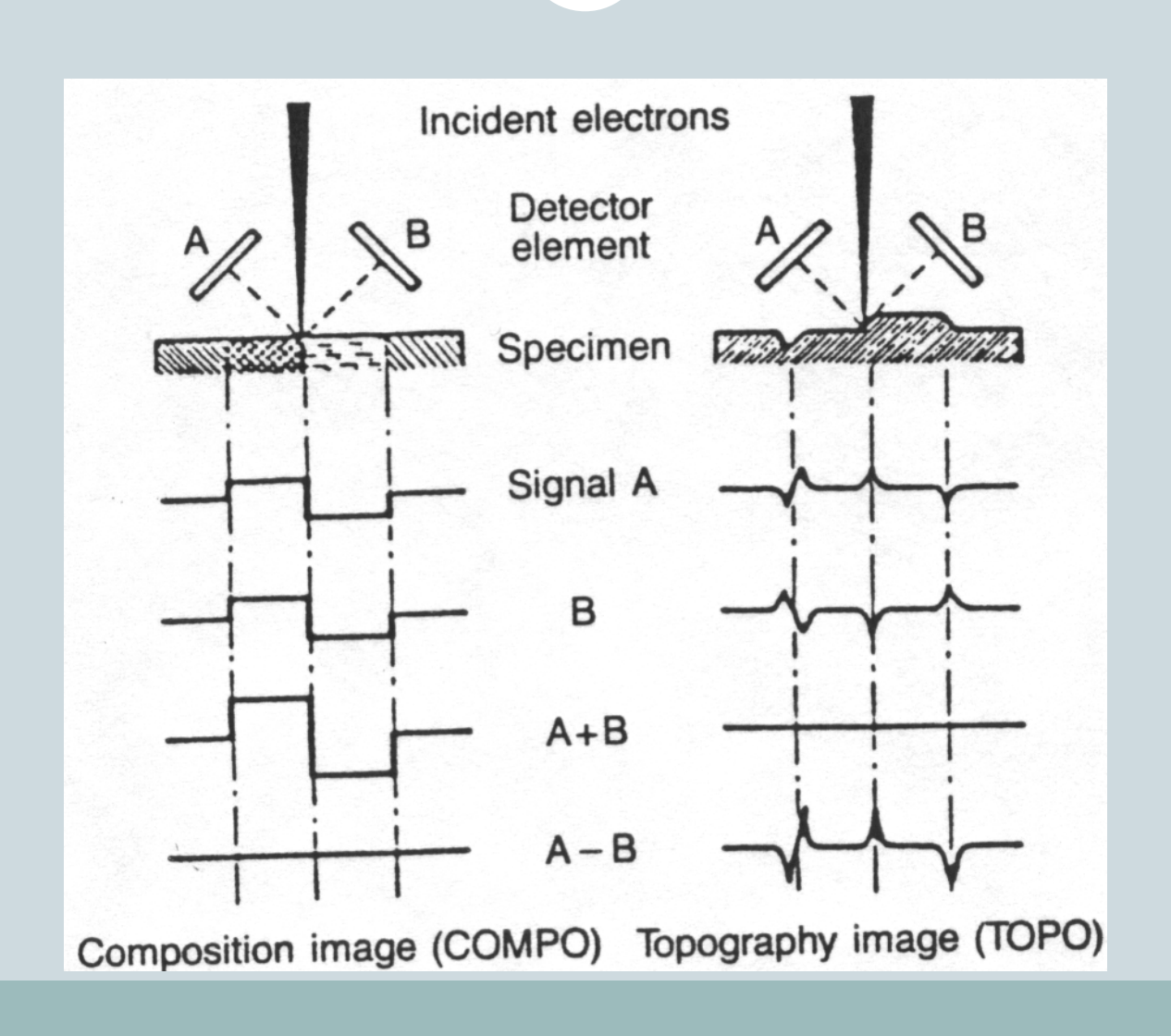


Detector de Estado Sólido

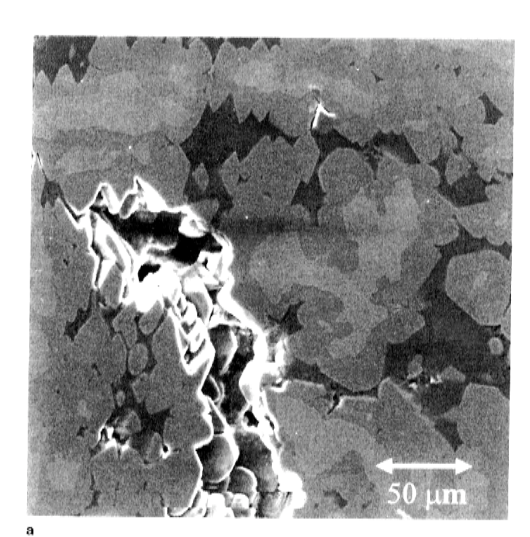
#### Detector de e<sub>BSF</sub> de Estado Sólido

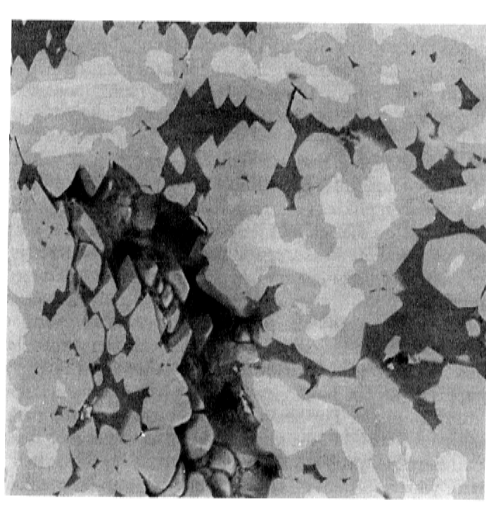
- Sensíveis apenas a elétrons de alta energia
- Fáceis de fabricar e baratos
- Podem ser fabricados em qualquer forma plana
- Alta eficiência energética (1 e⁻ de 100kV gera 28.000 pares)
- Grande ruído de fundo

## Detector de e<sub>BSE</sub> de Estado Sólido



# Imagem de e<sub>BSE</sub>

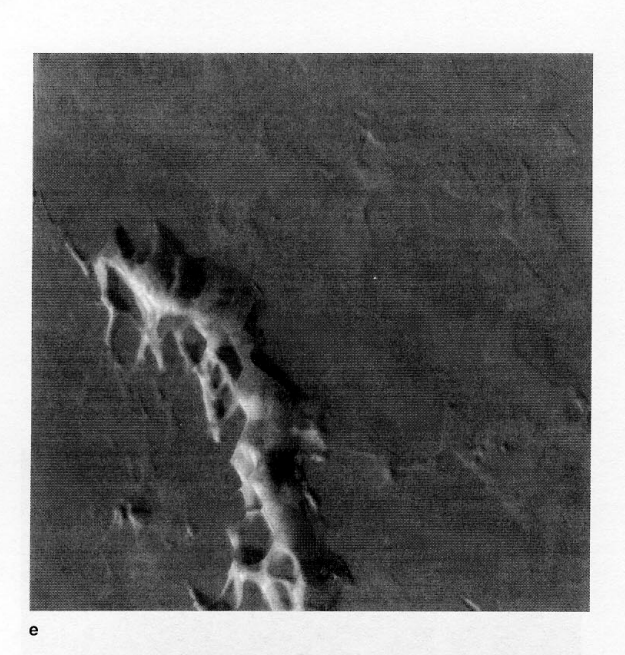


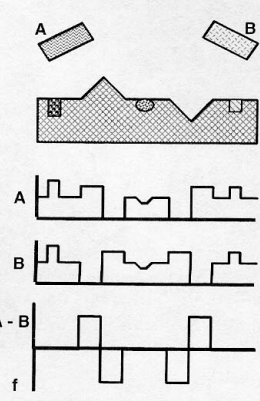


**BSE Topo** 

E-T

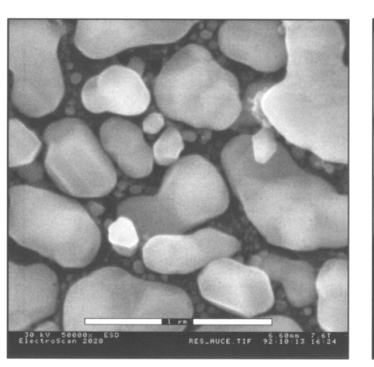
**BSE Compo** 

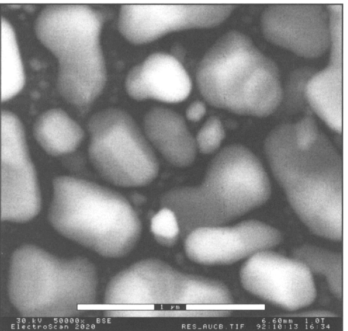


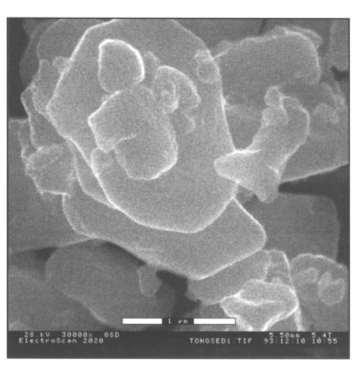


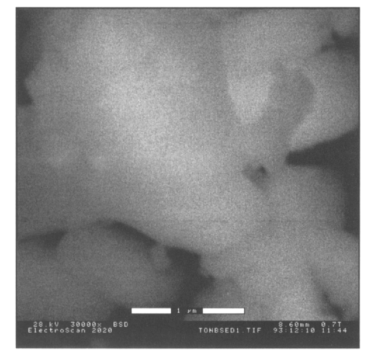
#### Secundários x Retroespalhados

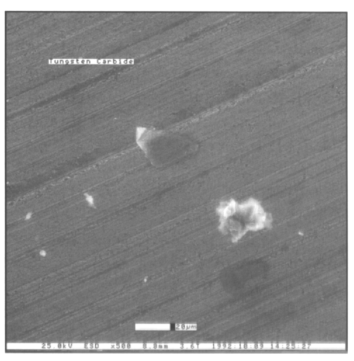
- Topografia com baixa resolução
- Contraste de Z

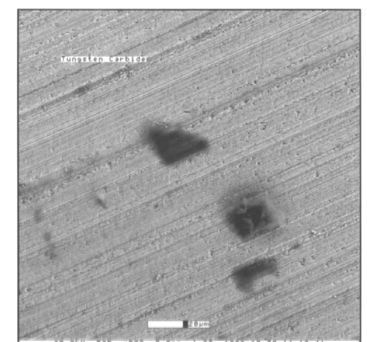




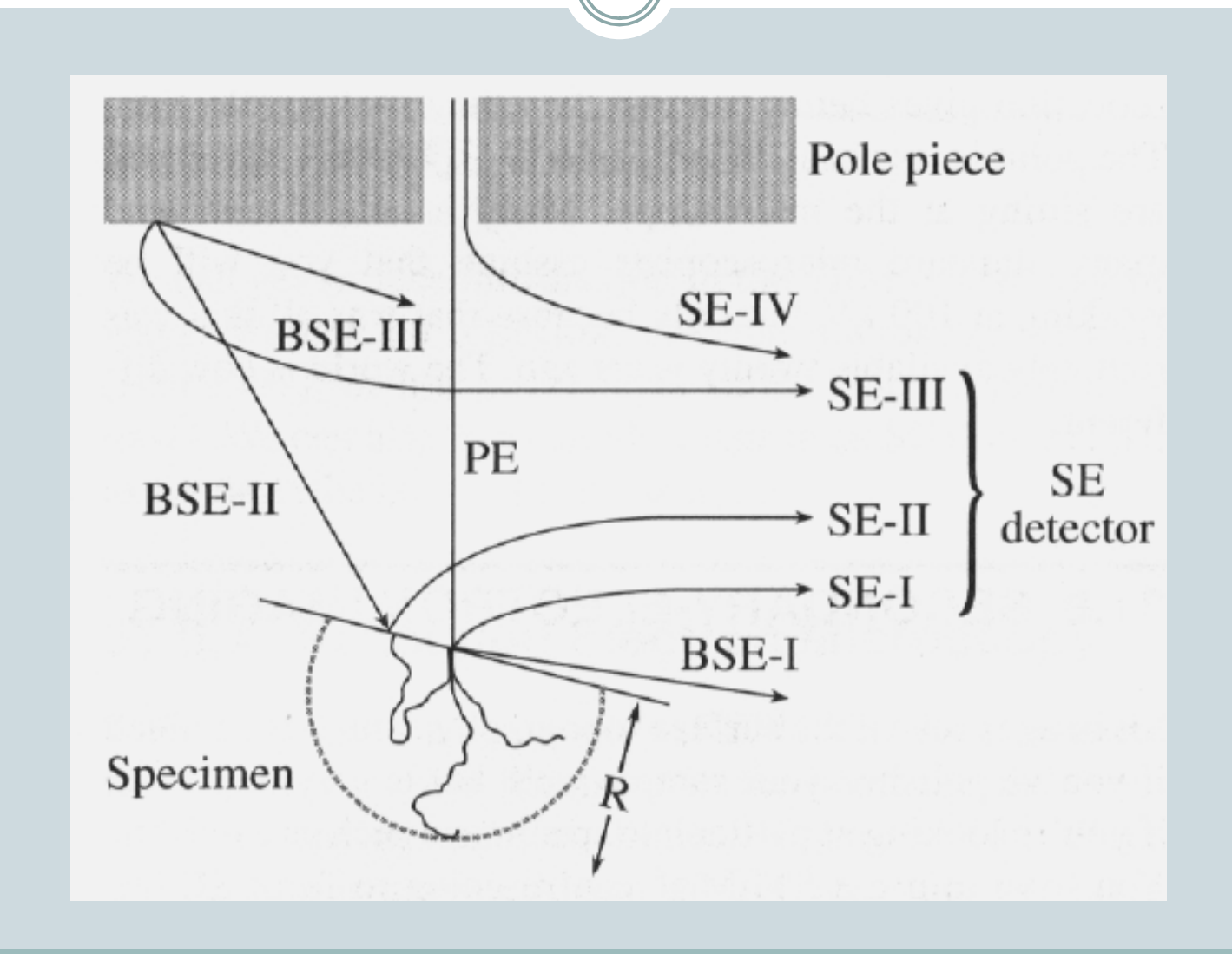




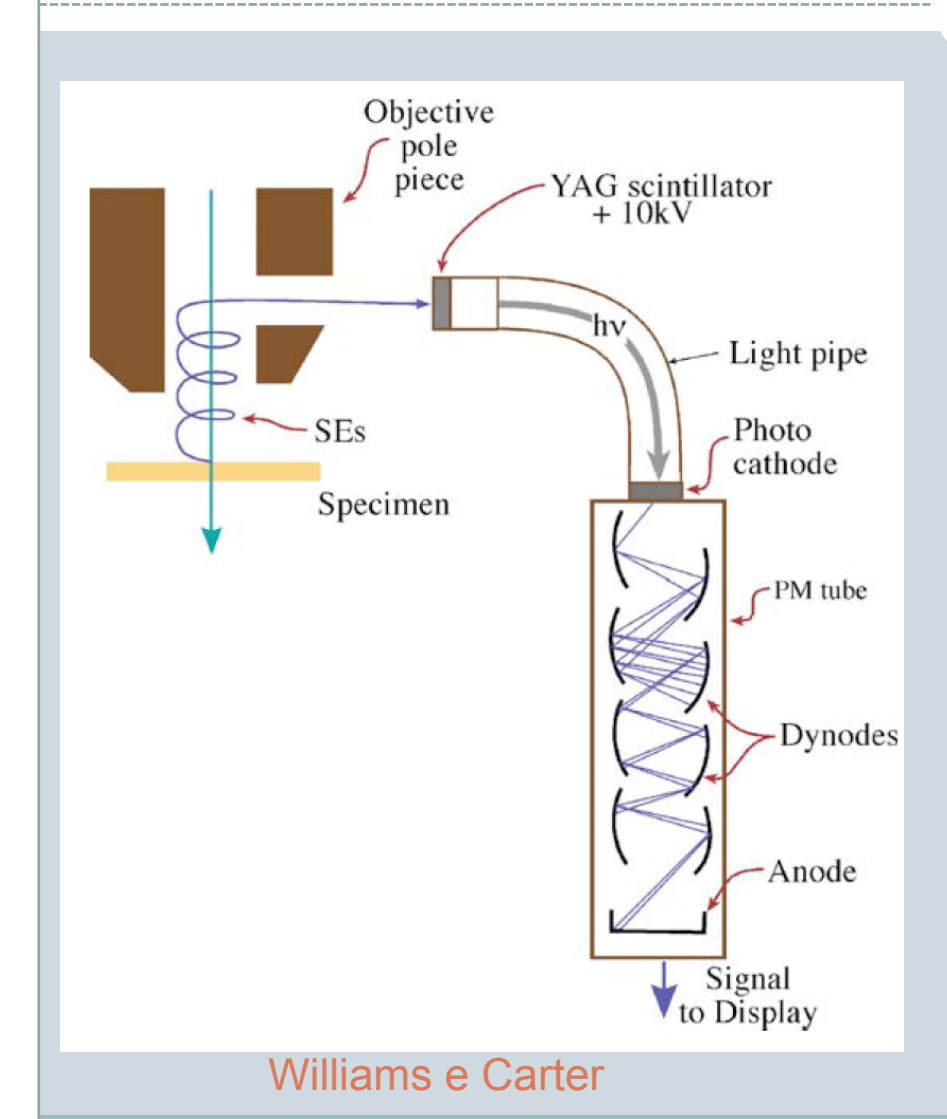




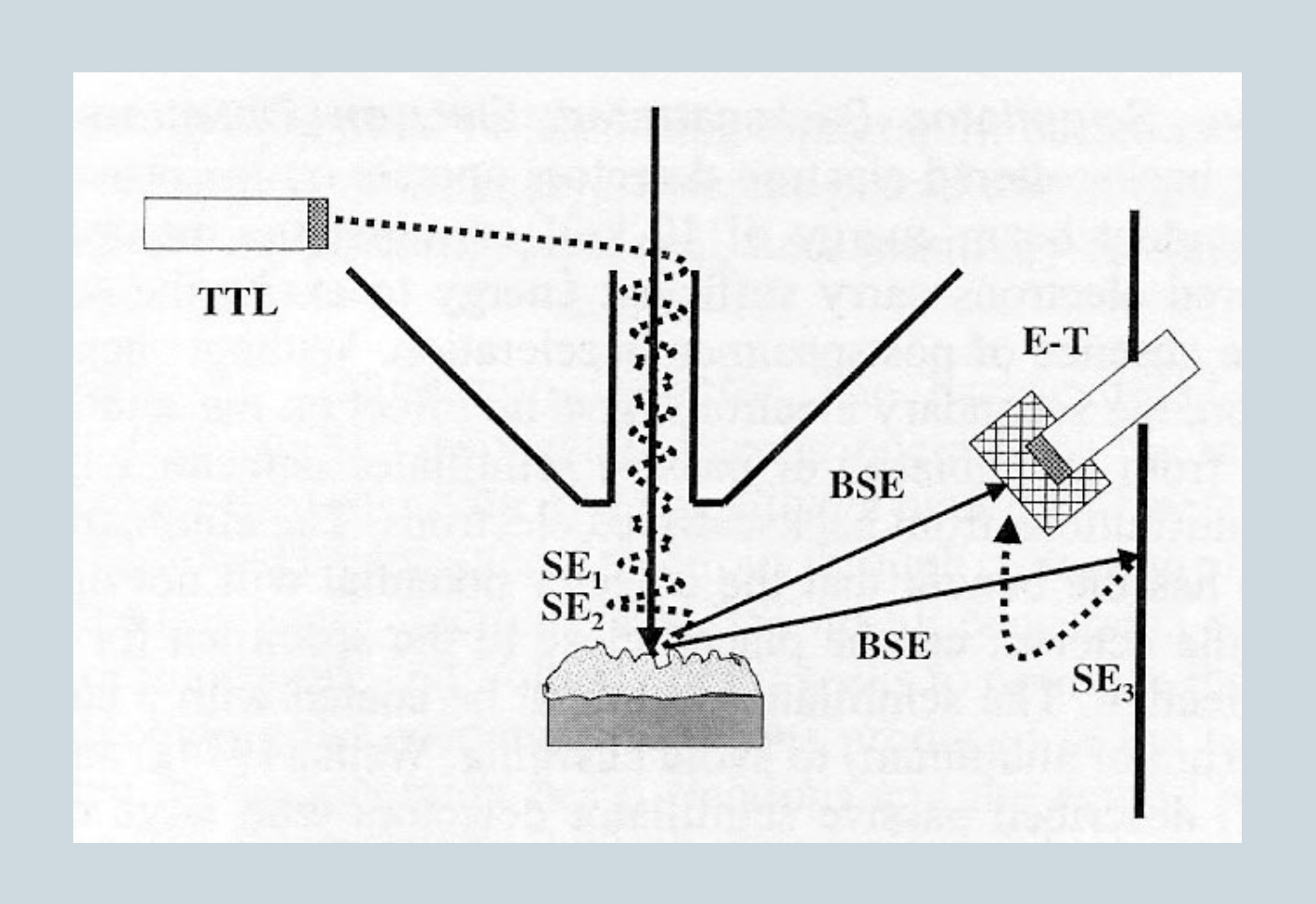
# Elétrons Secundários Os vários sinais



#### Detectores de Elétrons Secundários



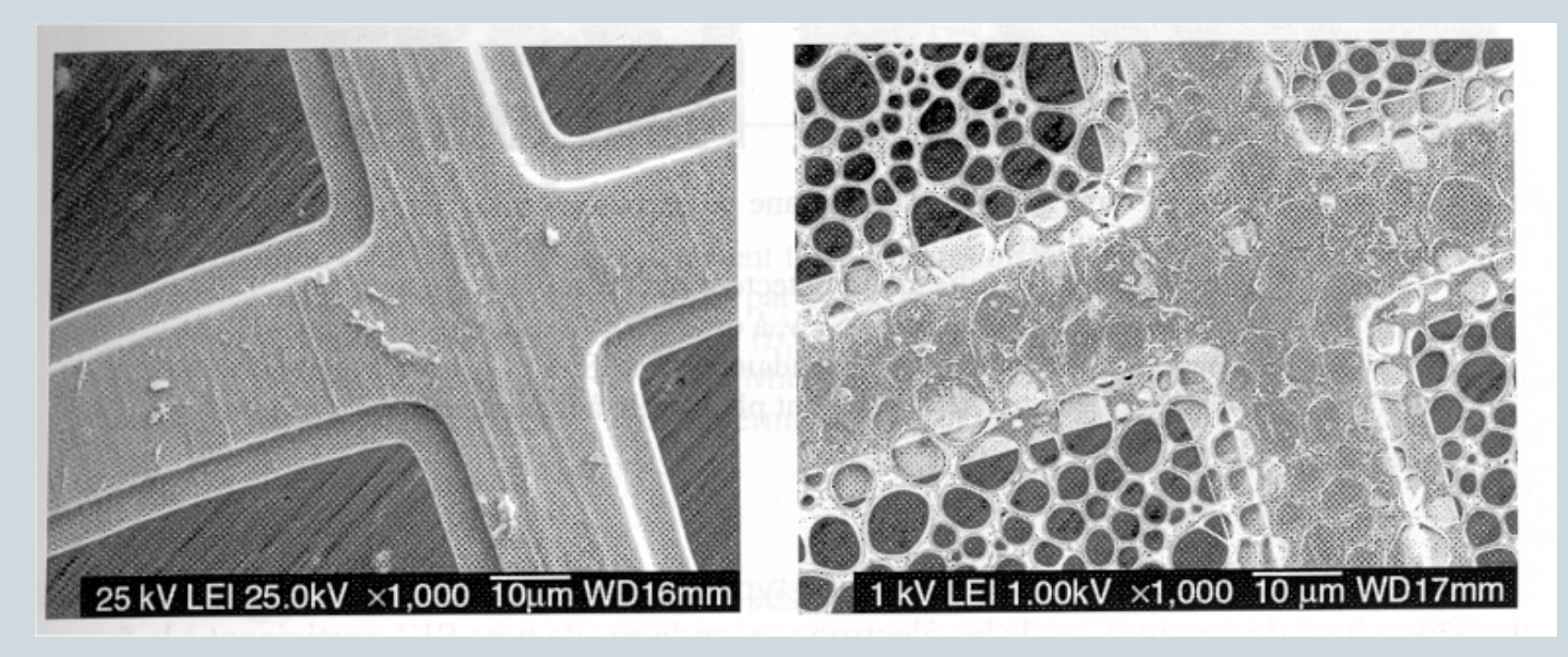
#### Detectores de Elétrons Secundários



#### Uma visão comparativa dos vários sinais



SE + BSE



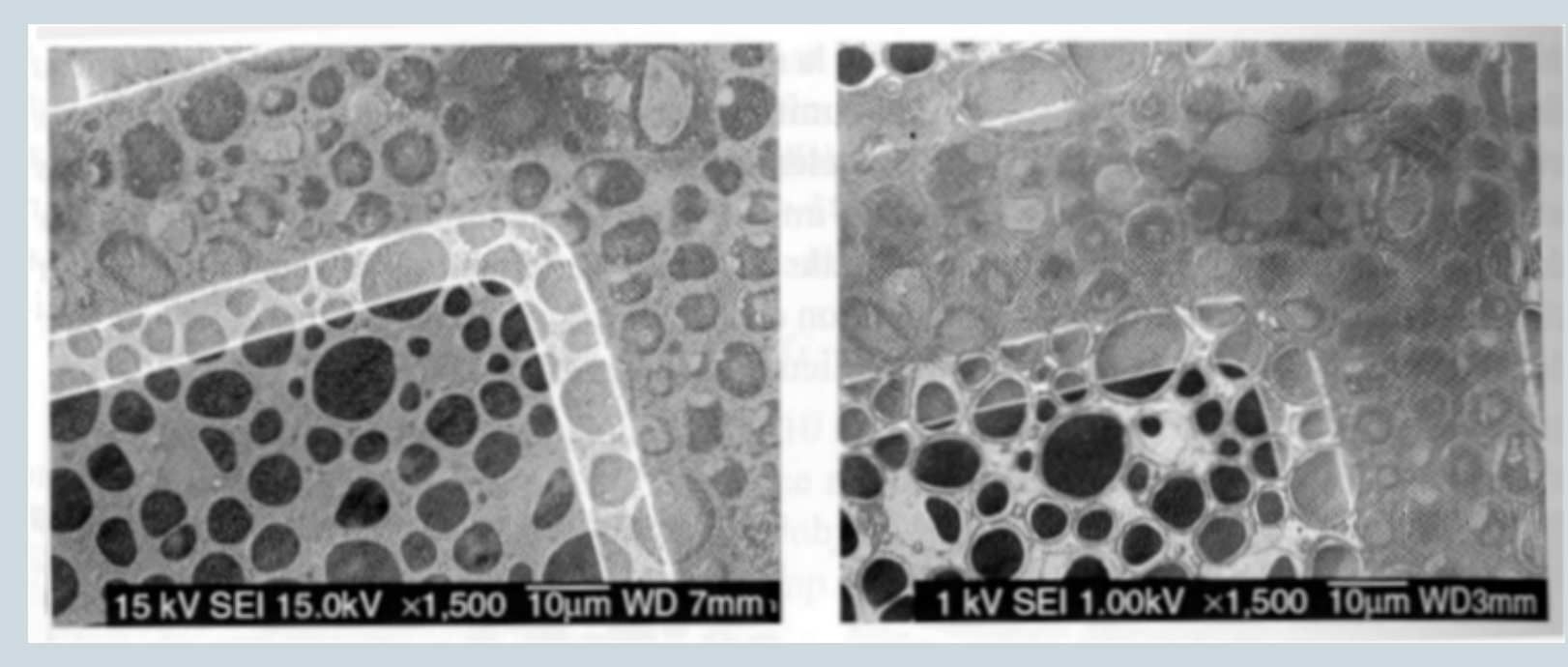
E<sub>0</sub> influence on the SE image

**FEI** 

lateral detector

#### Uma visão comparativa dos vários sinais

SE SE

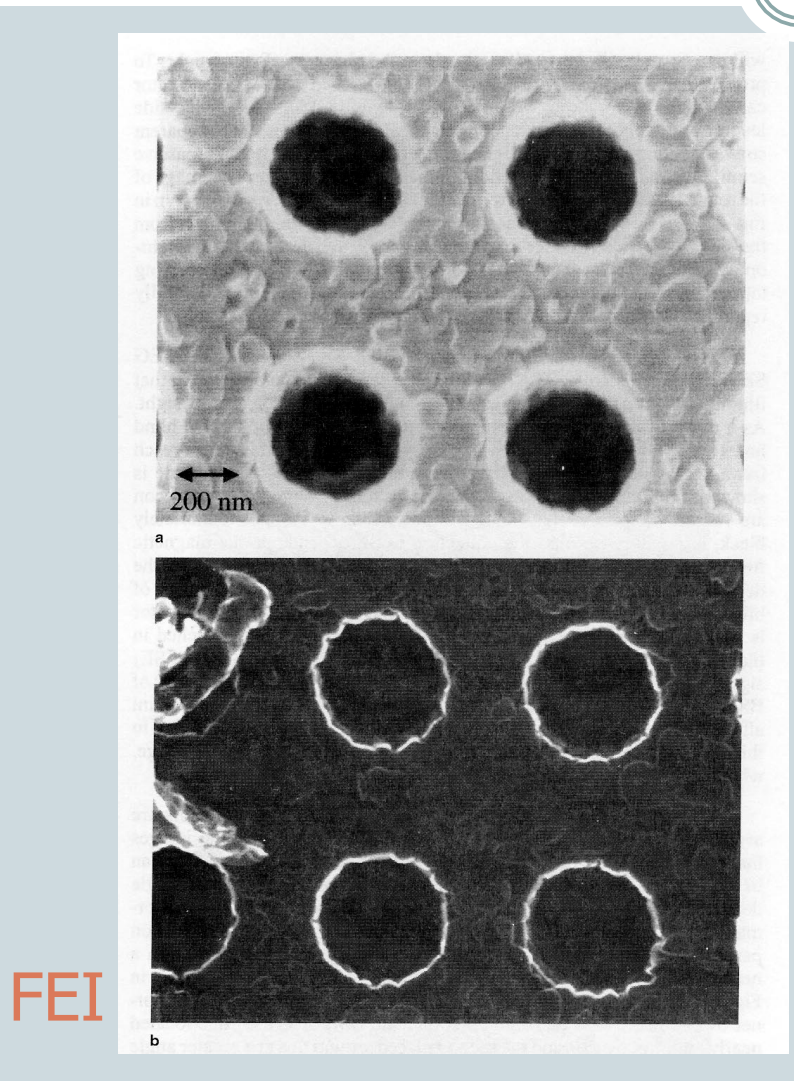


E<sub>0</sub> influence on the SE image

In-lens detector



#### Uma visão comparativa dos vários sinais

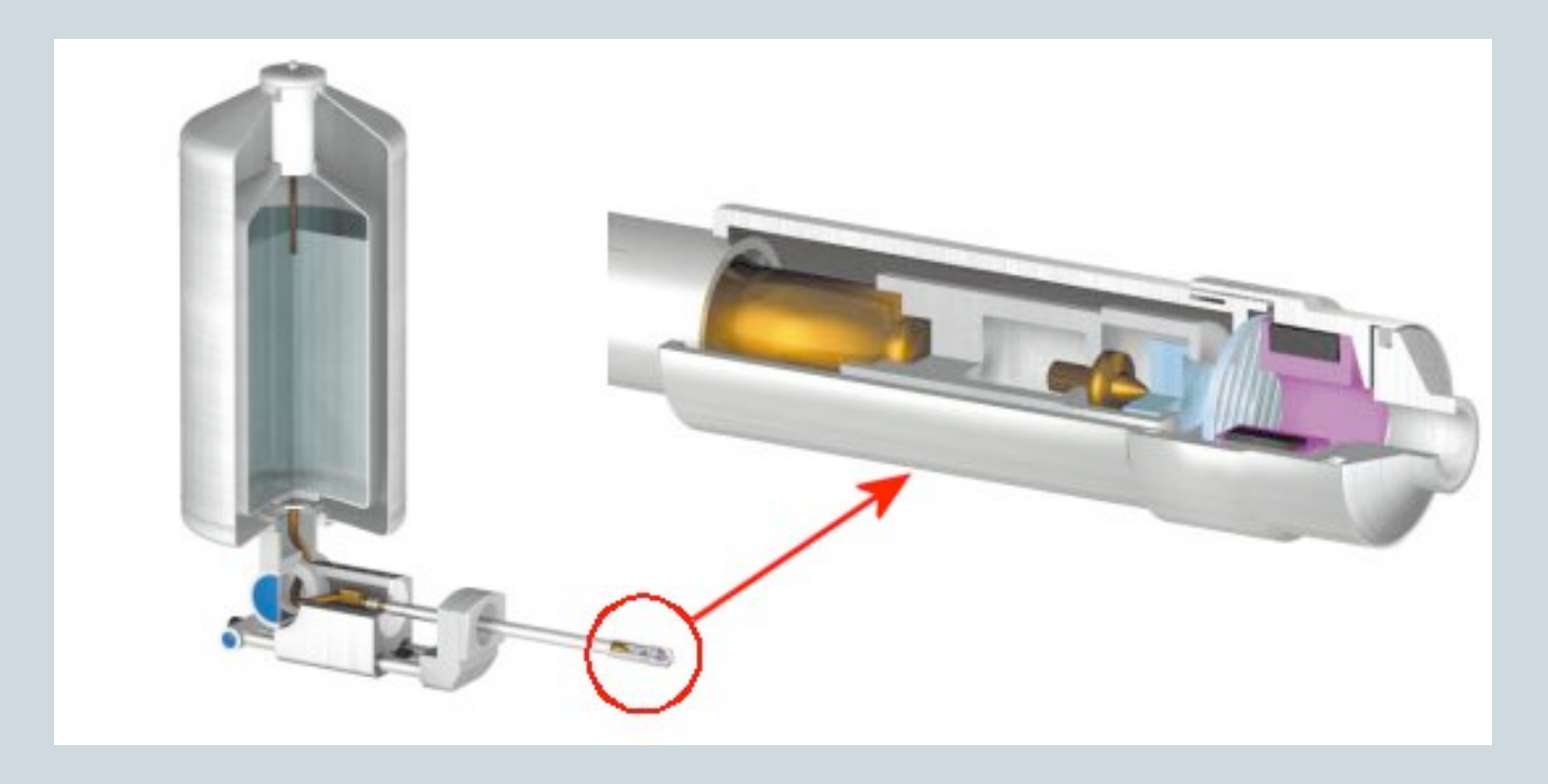


E-T lateral

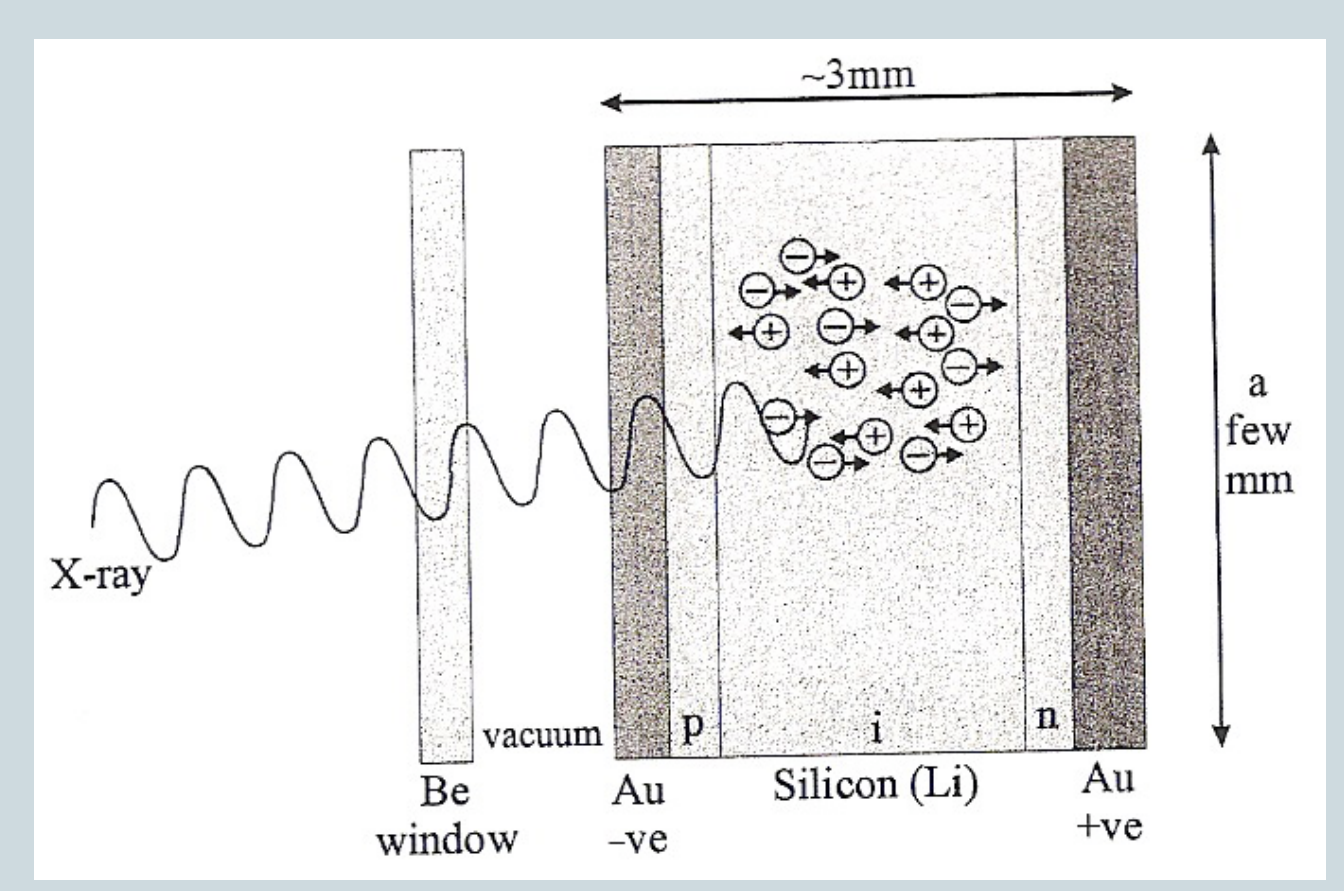
E-T in lens

## EDS – "Energy Dispersive Spectroscopy"

Detector de Raios X



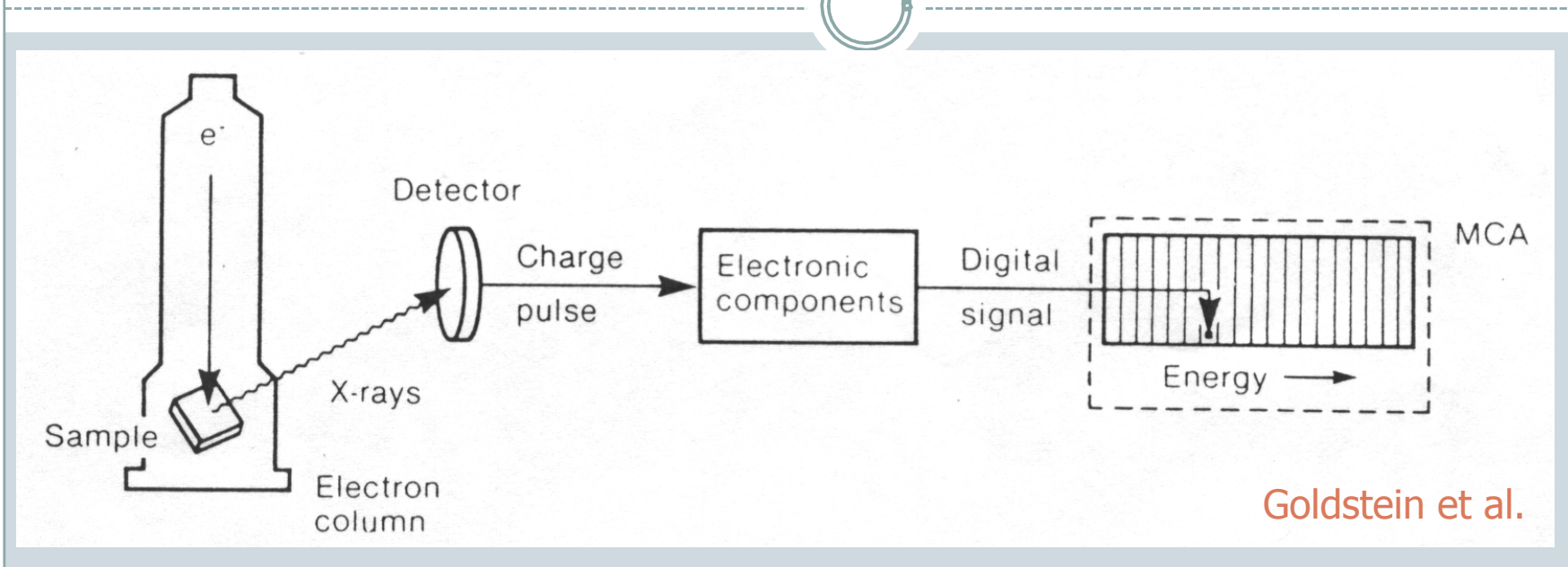
#### Detector de Raios X (SiLi)



Goodhew et all

Cada par elétron-buraco consome 3,8 eV

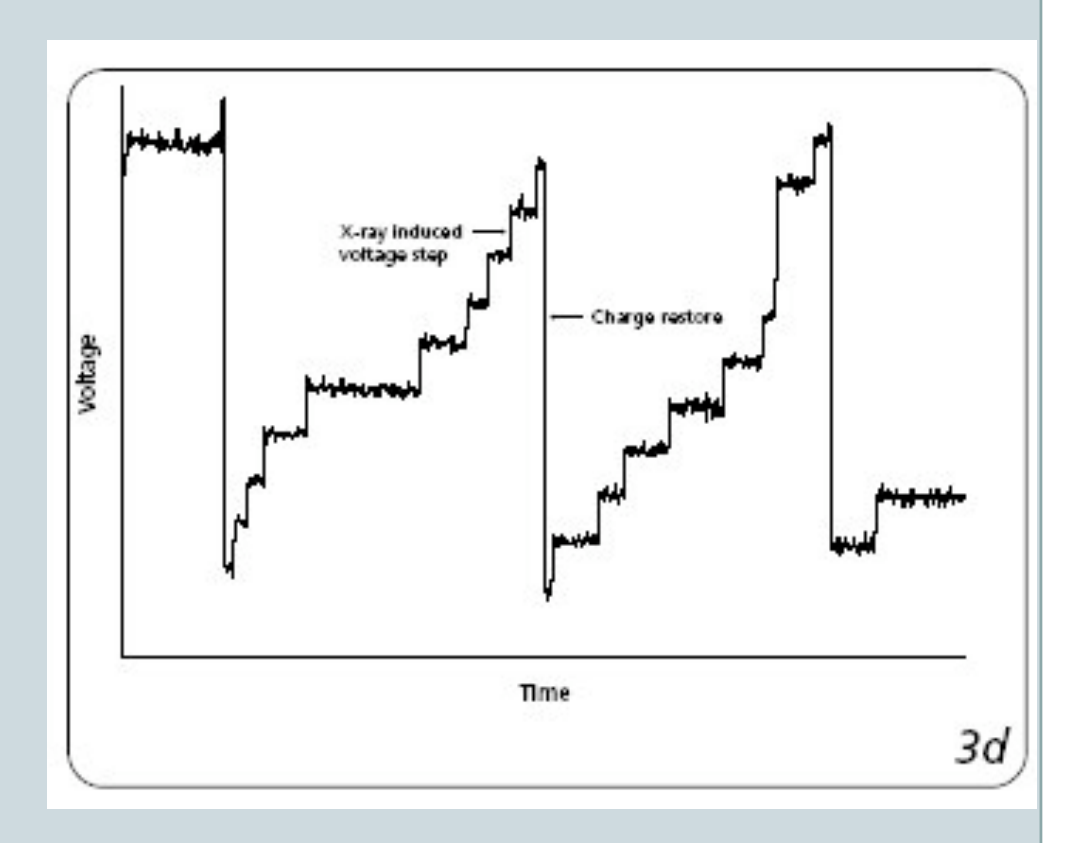
#### Processamento do Sinal



- Cada fóton gera um pulso de voltagem
- Os pulsos gerados são amplificados e digitalizados num intervalo de tempo, τ (10-50 μs), ou constante temporal
- Os pulsos são separados em diferentes canais com resolução energética de 20 eV

#### Processamento do Sinal

 Um menor τ implica em maior número de contagens por segundo (cps), mas com menor resolução energética

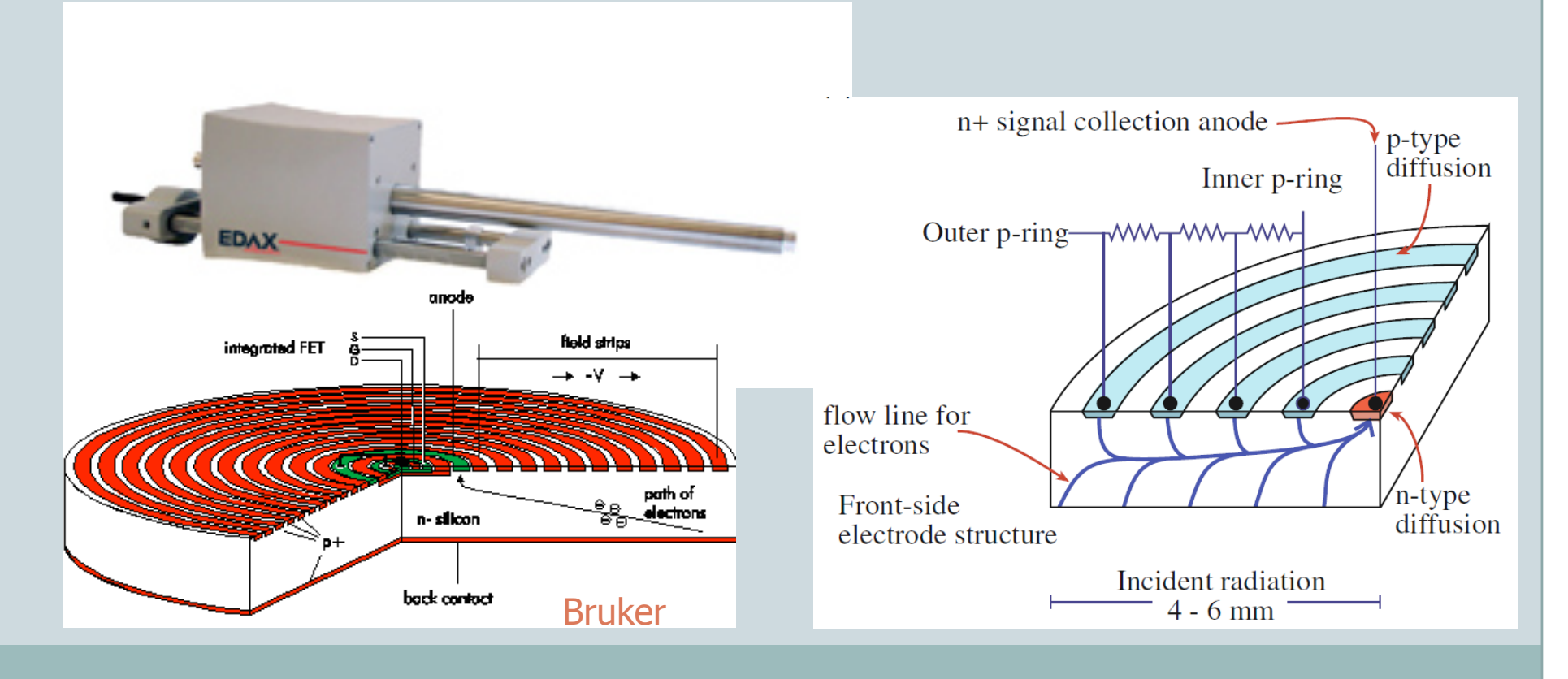


$$TempoMorto\% = \frac{\left(TempoTotal - TempoVivo\right)}{TempoTotal}x100\%$$

Goldstein et al.

#### Silicon Drift Detector (SDD)

- Refriado por Efeito Peltier
- Resolução ~ 145 eV
- Maiores taxas de contagem (~100.000 cps)



# Si(Li)

X

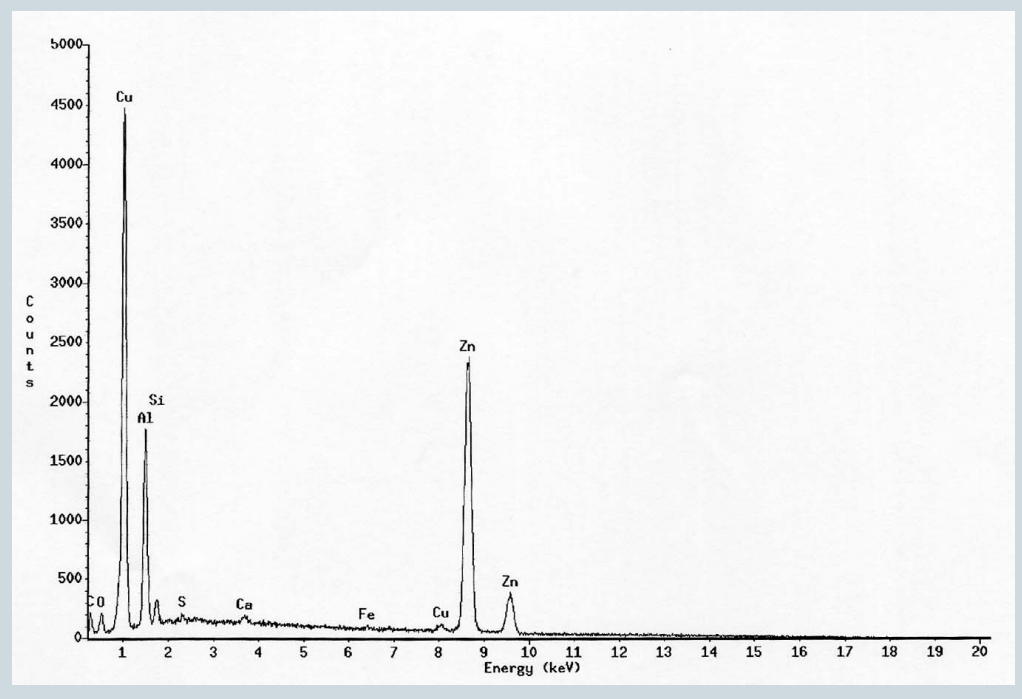
#### SDD

- Resolução energética ~
  148 eV
- Melhor resolução energética ~ 127 eV
- 5-10.000 cps
- -196°C (N<sub>2</sub> Liq)

- Resolução energética ~
  140 eV
- Melhor resolução energética ~ 123 eV
- 1.000-100.000 cps
- -25°C (Termoelétrico)

# Espectro de EDS

- Permite a análise qualitativa da composição química
- Permite a realização de análise de composição atômica semiquantitativa
- Permite a realização de mapeamentos para localização de elementos químicos



## WDS – "Wavelength Dispersive Spectroscopy"

Neste caso, a energia do fóton de R-X é avaliada através do seu comprimento de onda.

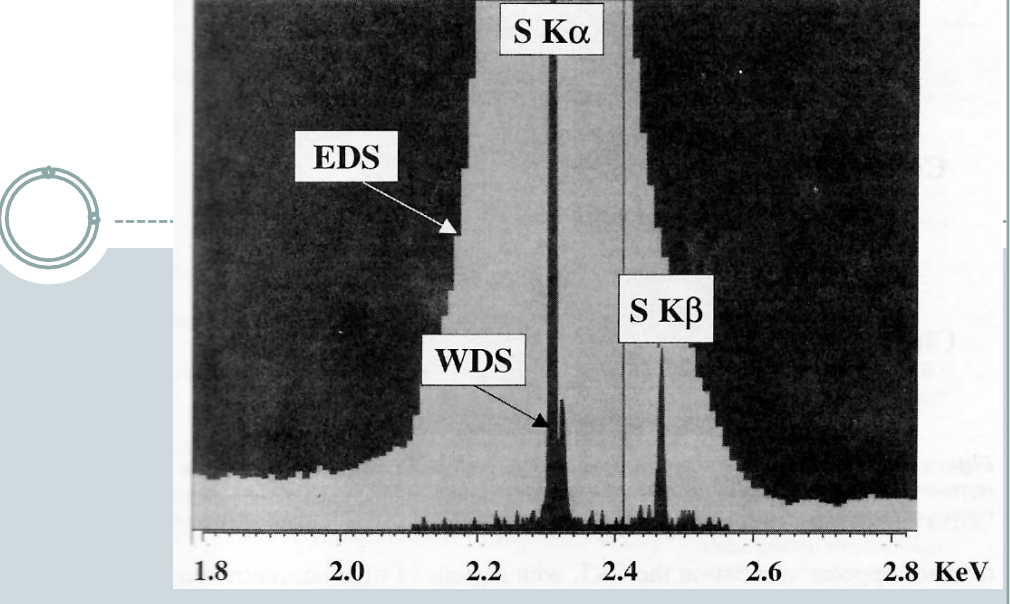
$$E = \frac{h}{\lambda}$$

- > O comprimento de onda é avaliado através da difração por um monocristal com ângulo de posicionamento variável.
- ➤ Lei de Bragg

$$n\lambda = 2d \operatorname{sen} \theta$$



### Comparação EDS x WDS



#### **EDS**

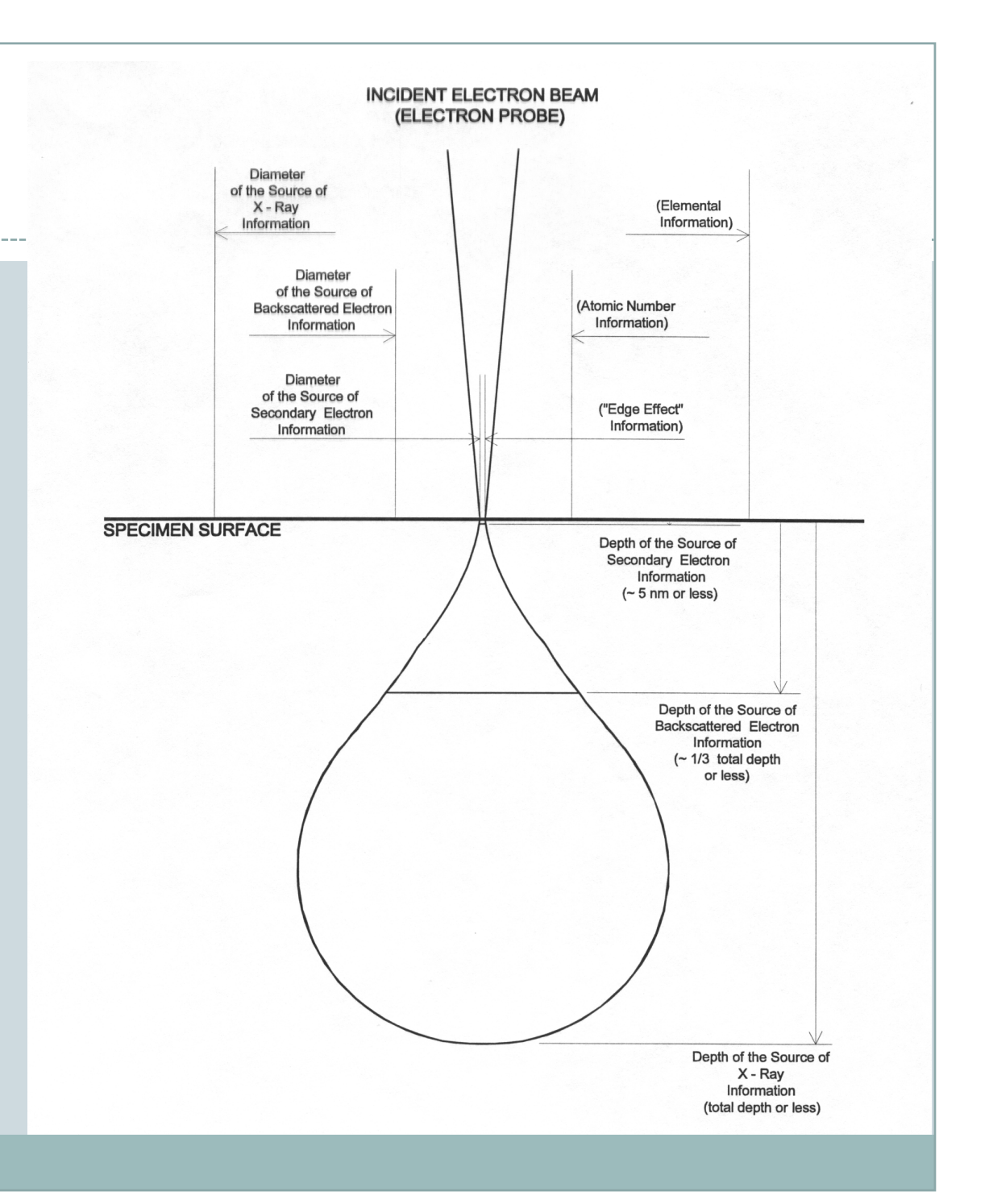
- Rápida análise qualitativa
- Fácil de usar
- Barato
- Baixa resolução energética (150 eV)
- Alto limite de detectabilidade (1%)
- Baixa detectabilidade de elementos leves

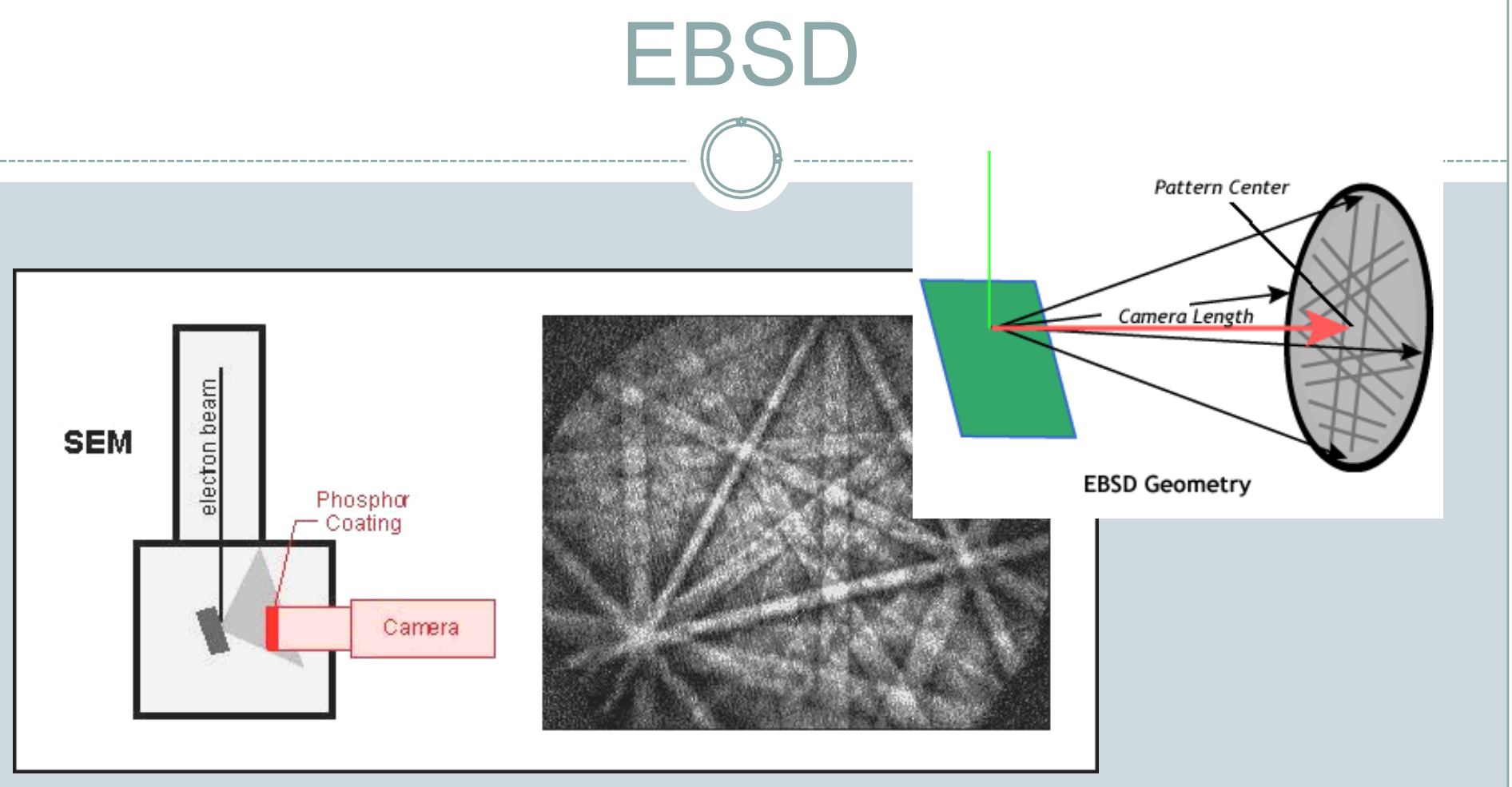
#### **WDS**

- Análise qualitativa lenta
- Exige muitos cuidados com alinhamento
- > Caro
- ➤ Alta resolução energética (5 eV)
- Baixo limite de detectabilidade (0,01 %)
- Excelente detectabilidade de elementos leves

# Resolução e origem

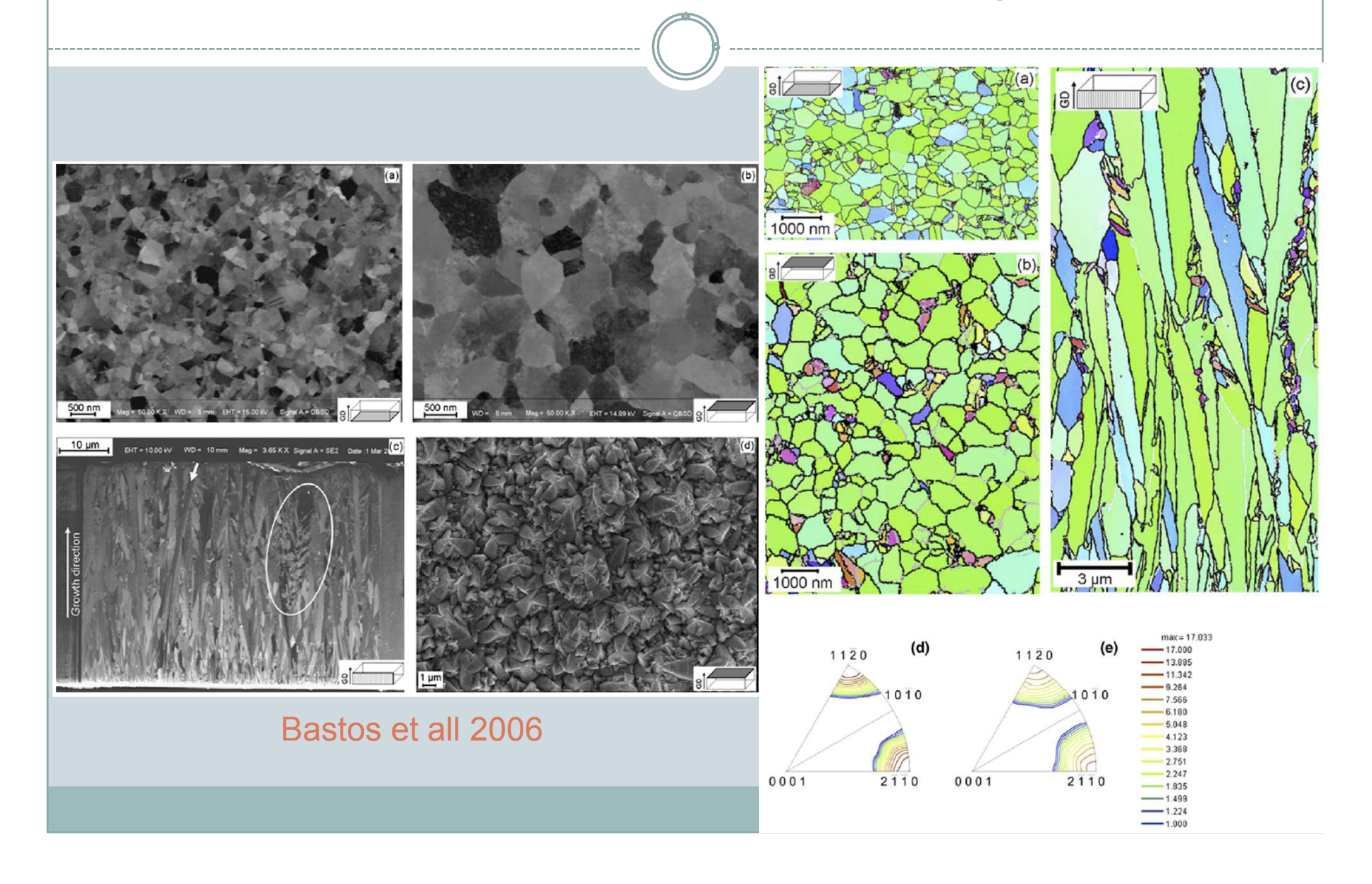
- e Secundários
  - ~ 1 ηm
- e- Retroespalhados
  - $\sim 0.1 \ \mu m$
- EDS
  - ~ 1 µm



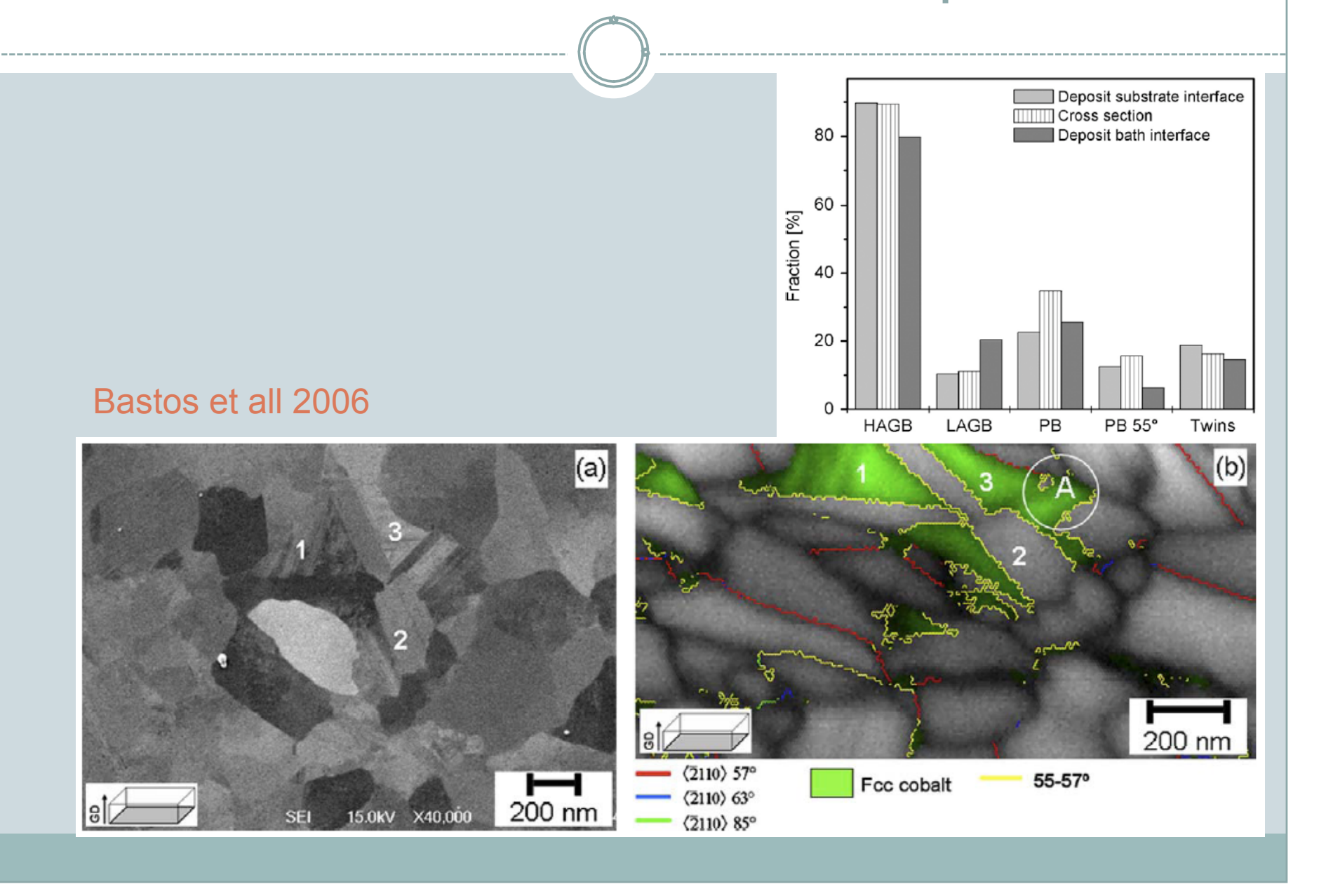


- > A largura das bandas está diretamente relacionada ao espaçamento interplanar.
- > O ângulo entre as bandas corresponde ao ângulo entre os planos cristalinos.
- A posição das bandas está ligada à posição dos planos.

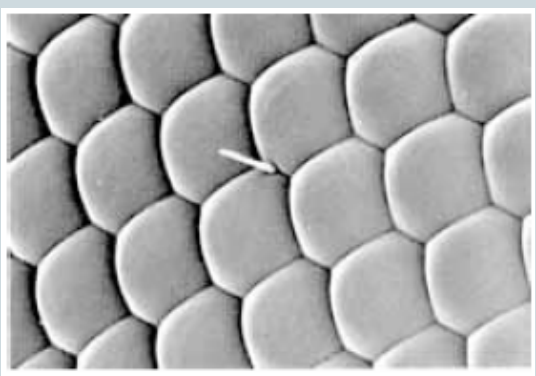
# NiCo Nanoestruturado Eletrodepositado



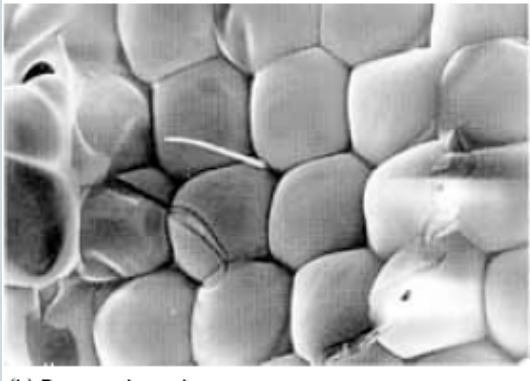
# NiCo Nanoestruturado Eletrodepositado



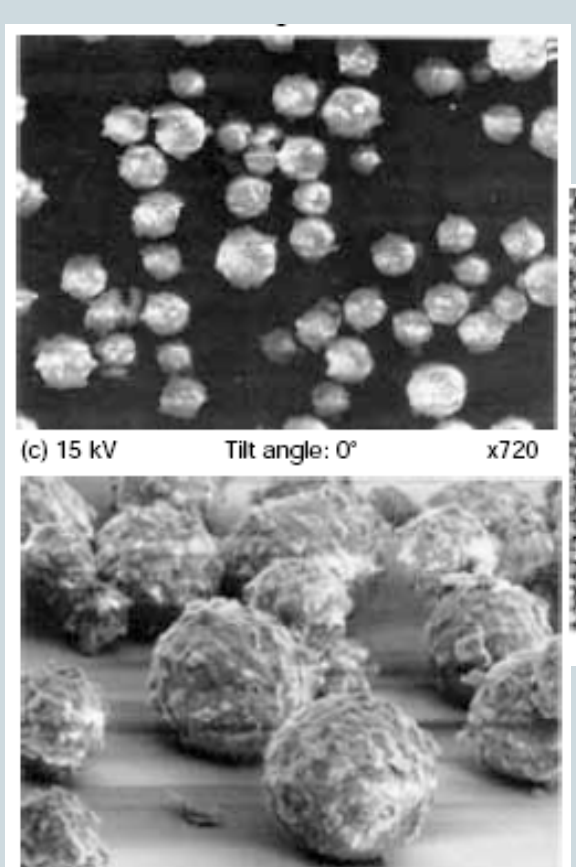
# Danos



(a) Undamaged specimen



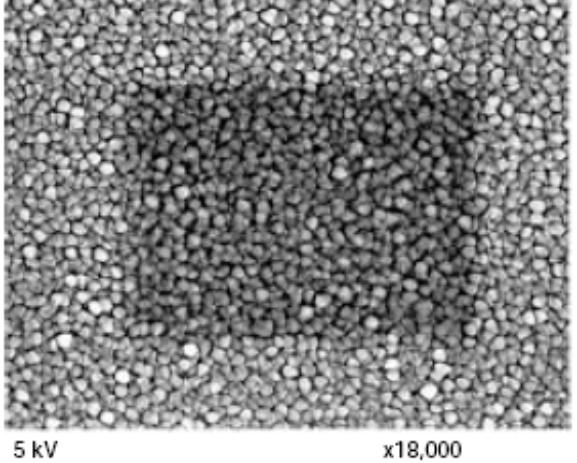
(b) Damaged specimen



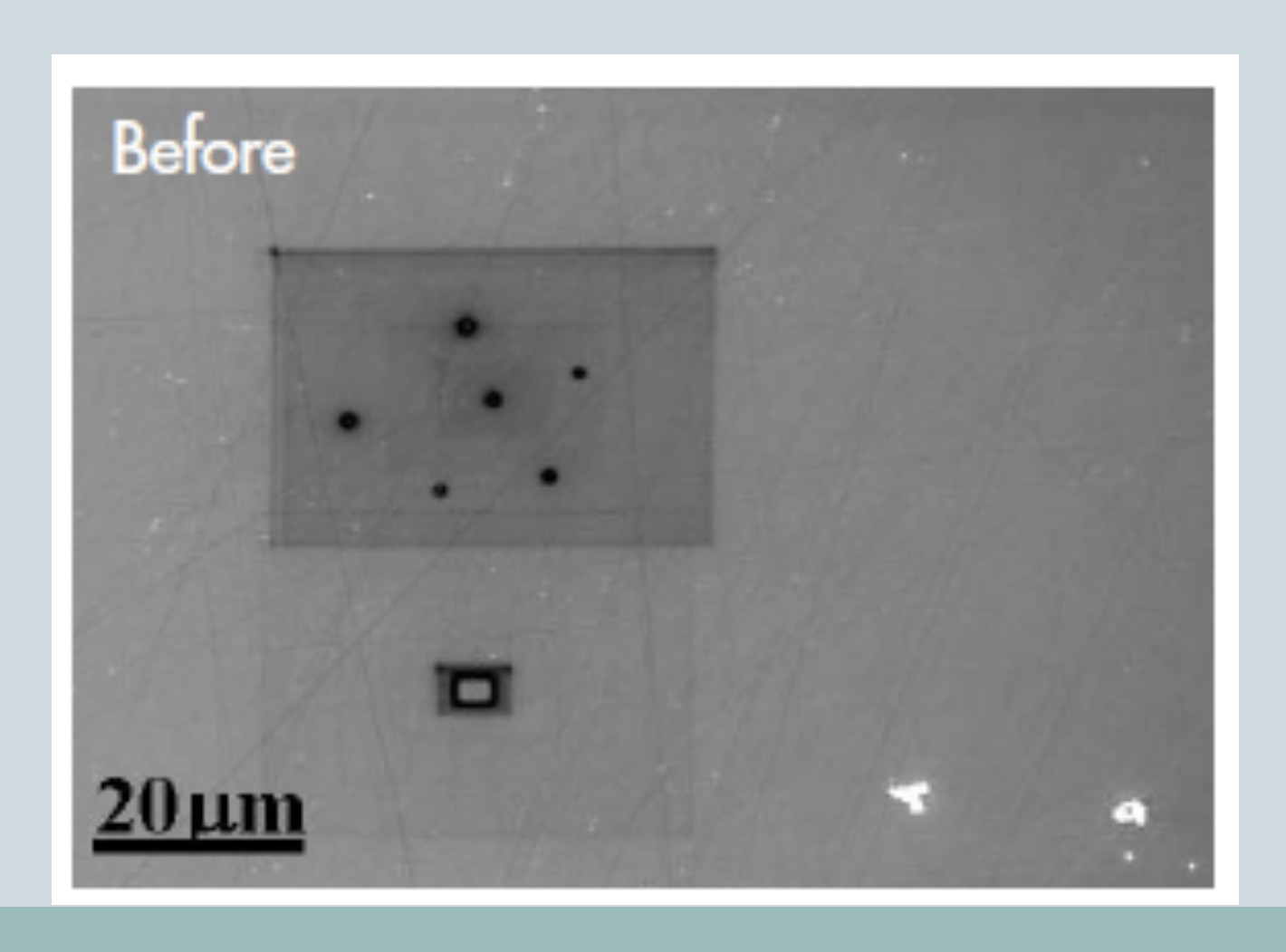
Tilt angle: 45°

x1,400

(d) 5 kV

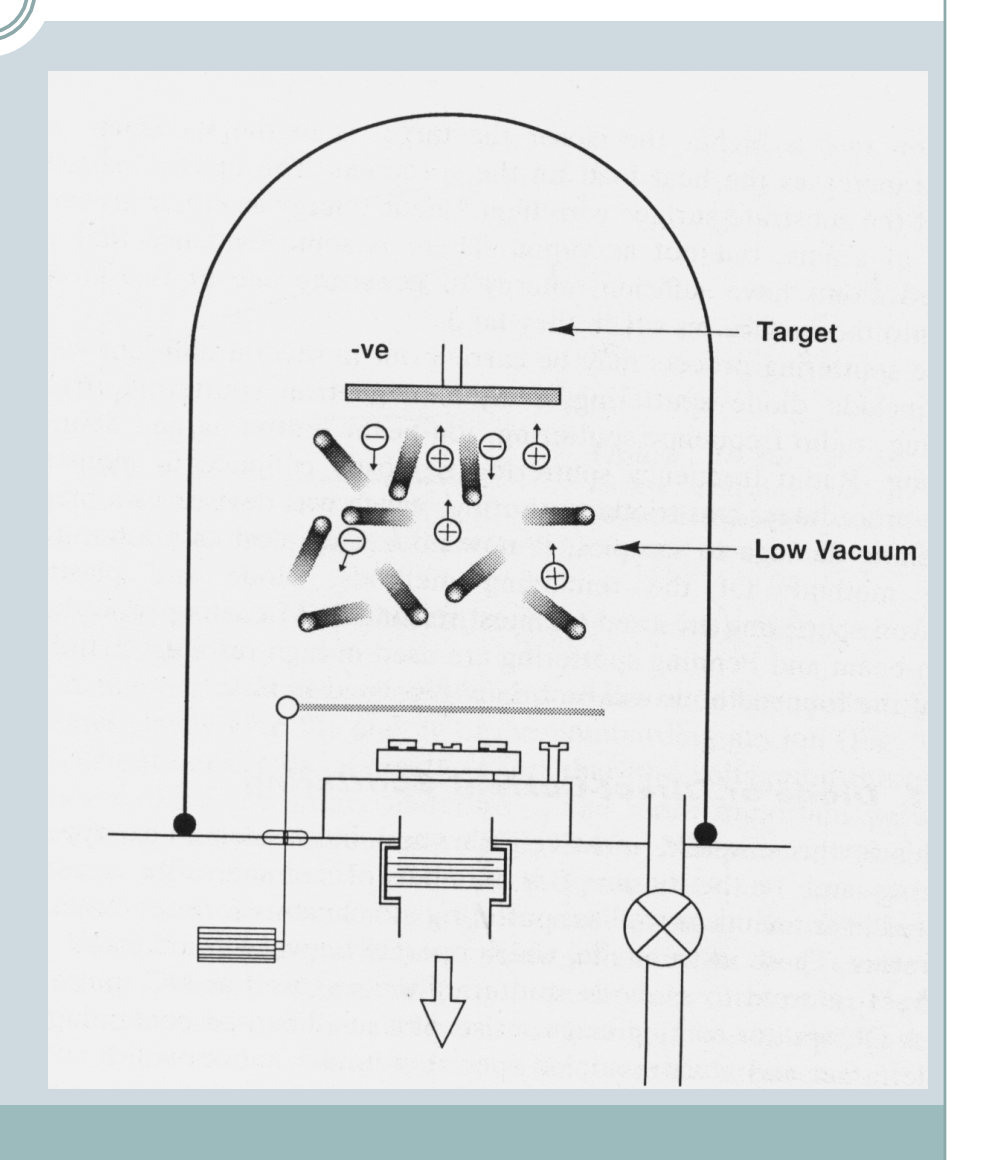


# Danos

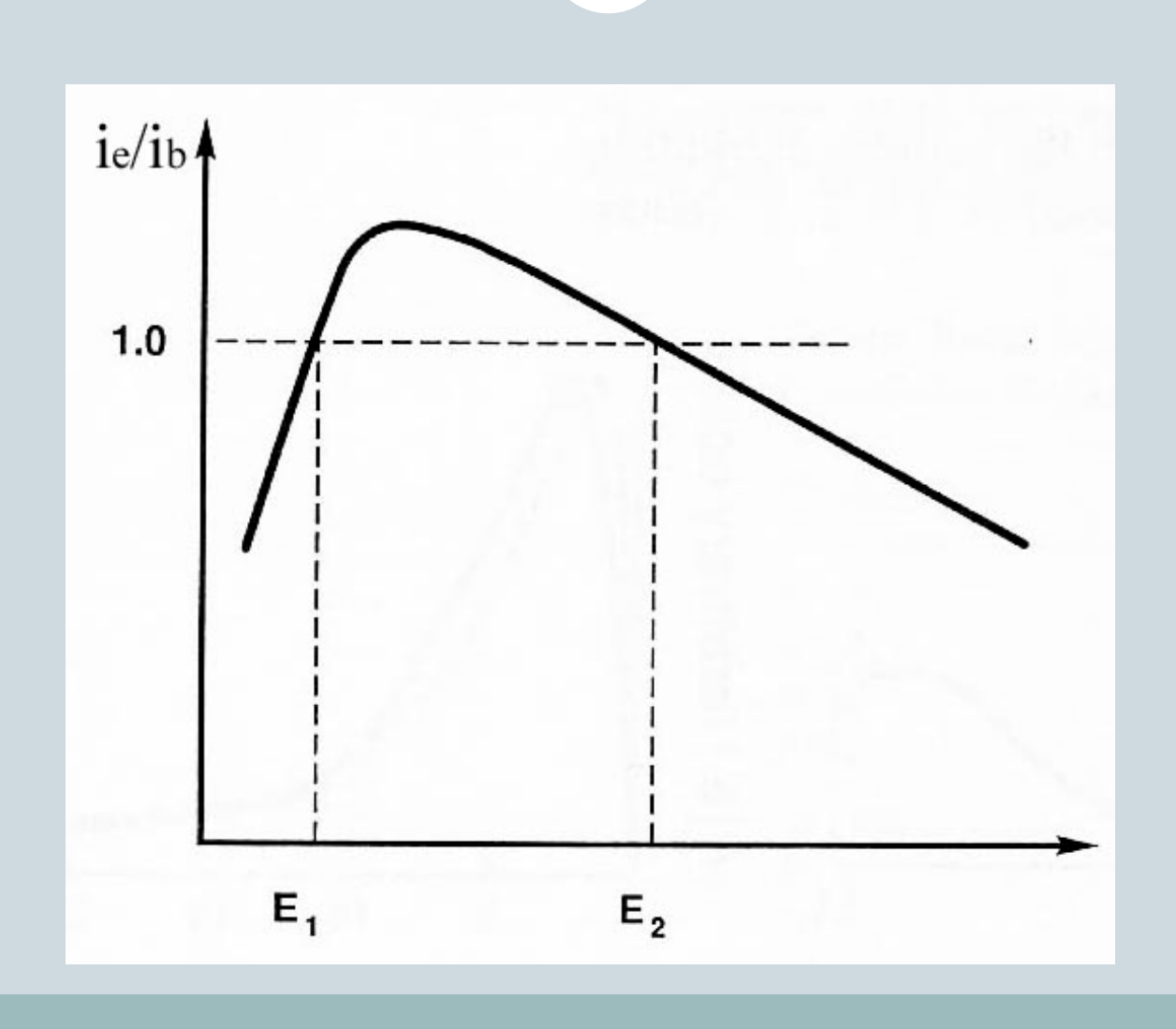


## Deposição de Camada Condutora

- A deposição de Au, , Ag, Pt, Ni e Cr por "sputtering" proporciona boa resolução, mas pode representar um problema em EDS e em amostras sensíveis.
- A deposição de C por evaporação costuma resolver este problema.

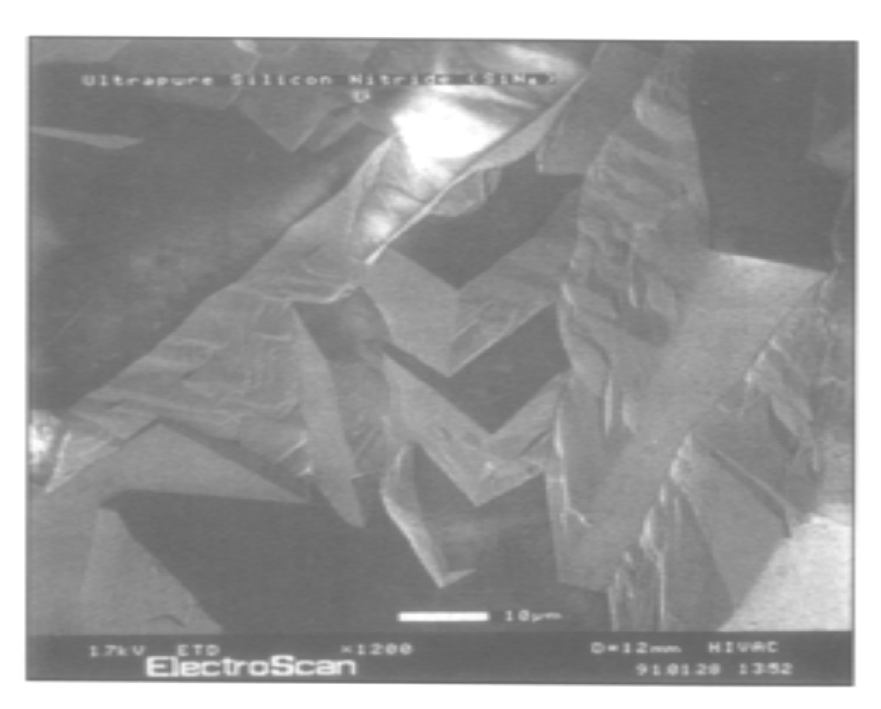


# Observação em Baixa Voltagem



# Observação em Baixa Voltagem

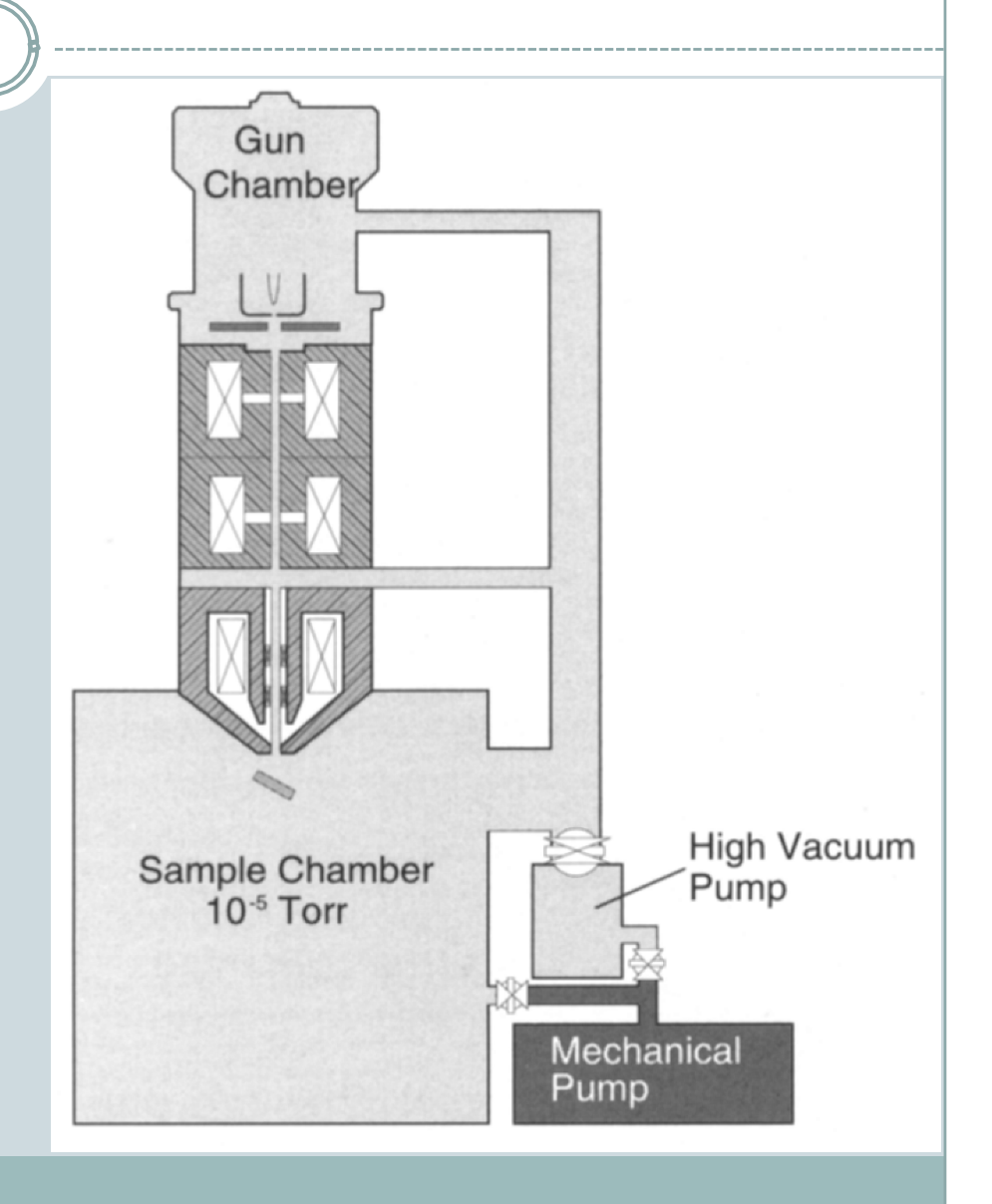




> Todo material possui uma voltagem onde ocorre o equilíbrio de cargas, em geral entre 0,5 kV e 5 kV.

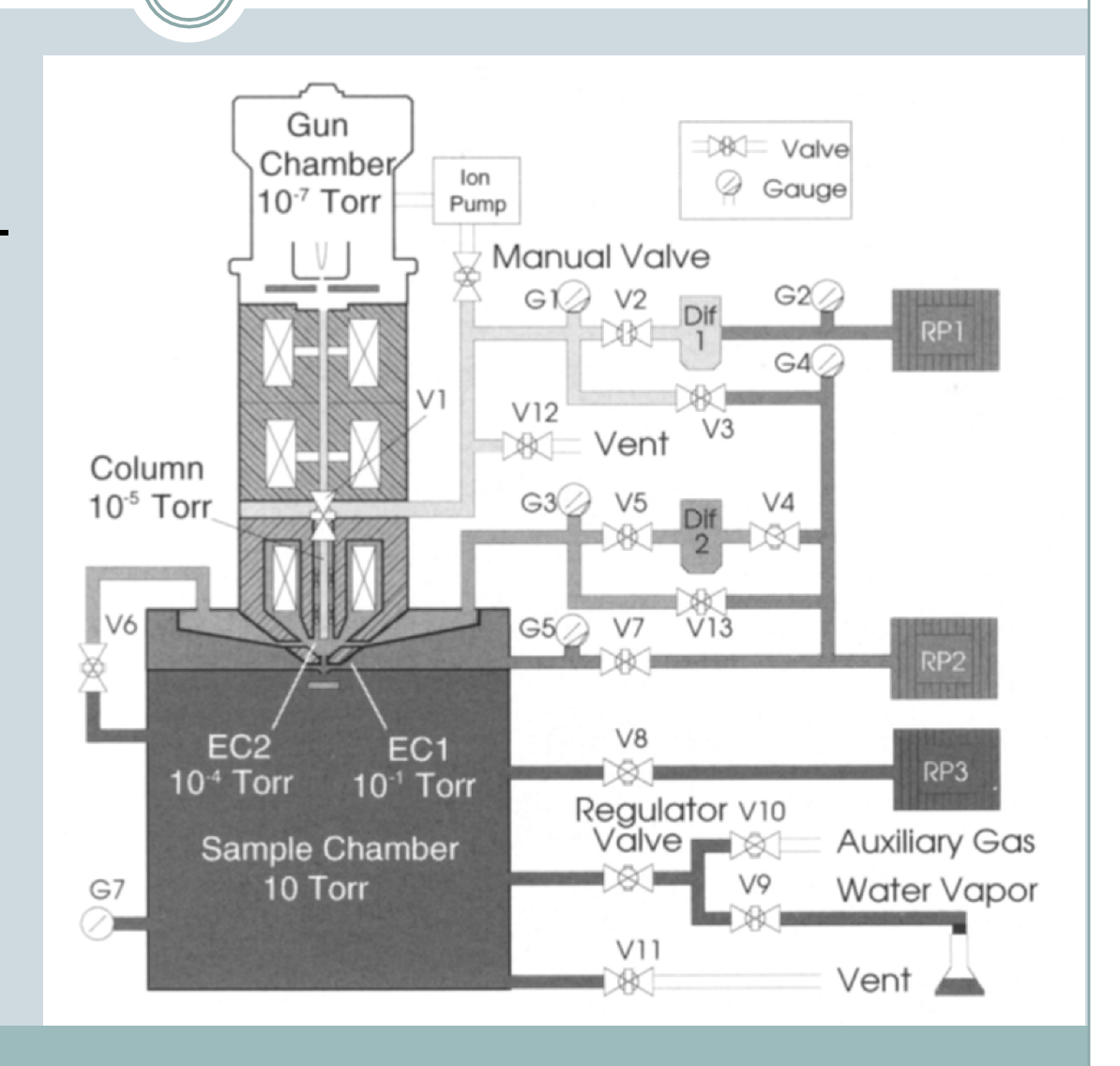
# Observação em Alto Vácuo

Canhão de elétrons, coluna e câmara permanecem à pressão de vácuo em torno de 10-6 Torr



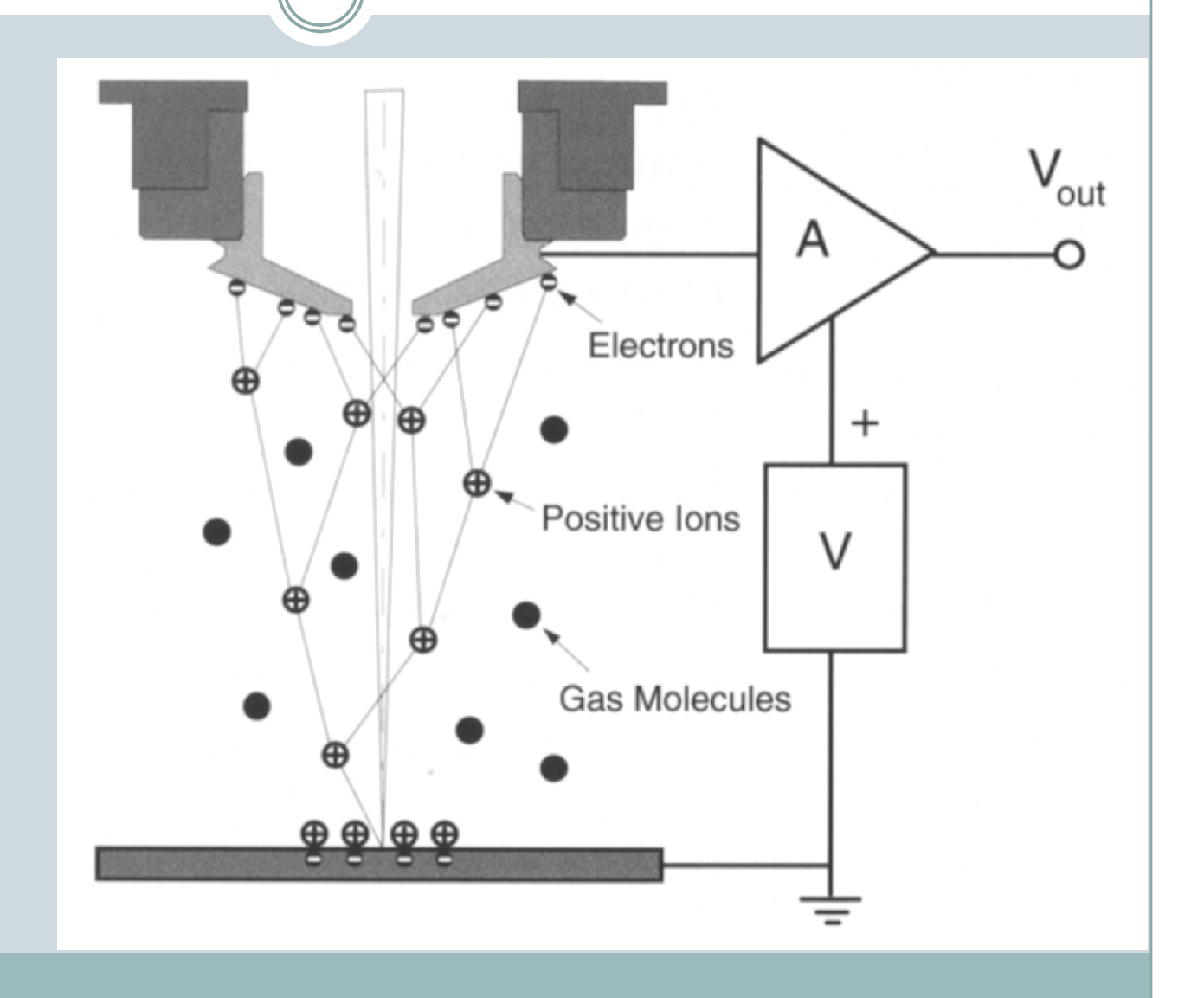
# Observação em Baixo Vácuo

- Detector de Everhart-Thornley precisa ser desligado.
- A única imagem disponível é de elétrons retroespalhados.

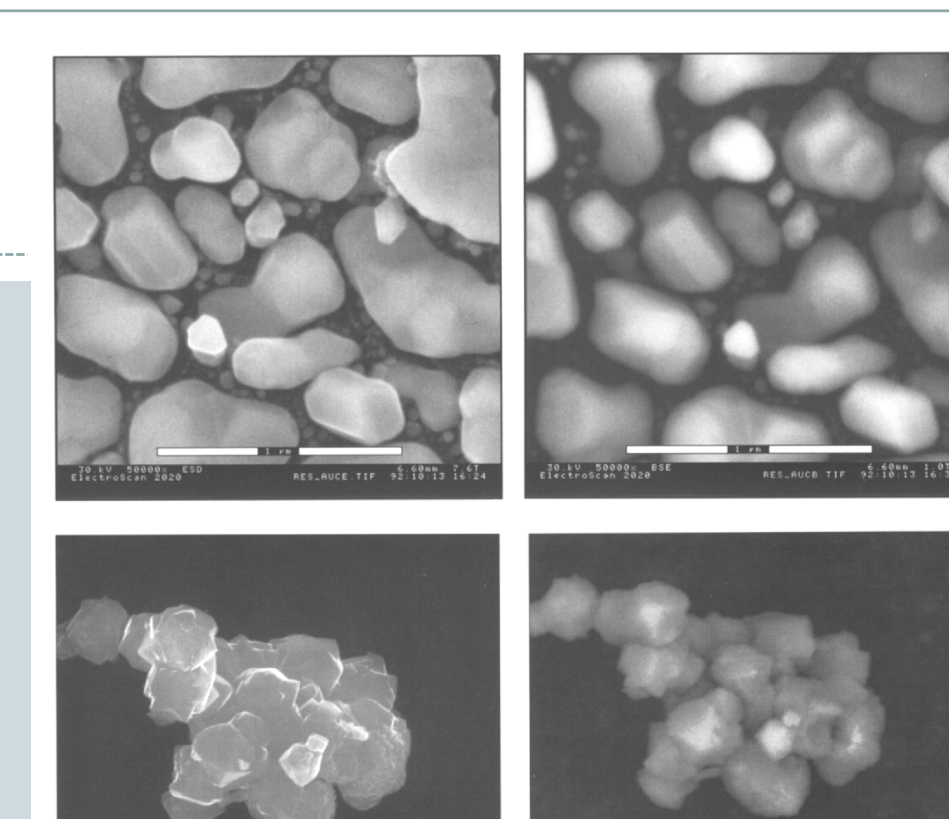


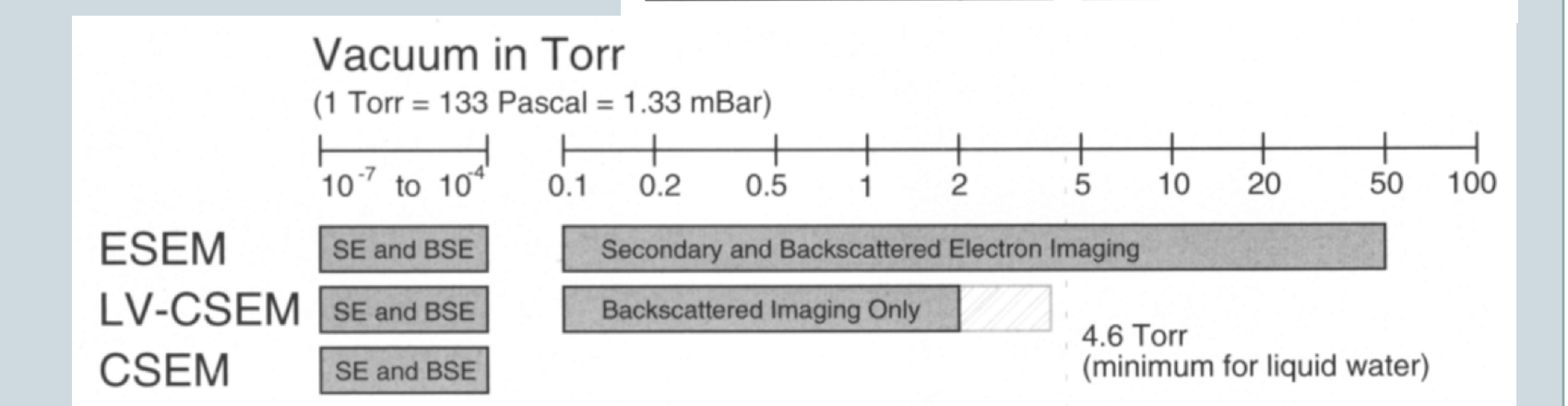
#### **MEV Ambiental**

Novos detectores permitem a observação da imagem de elétrons secundários em baixo vácuo.



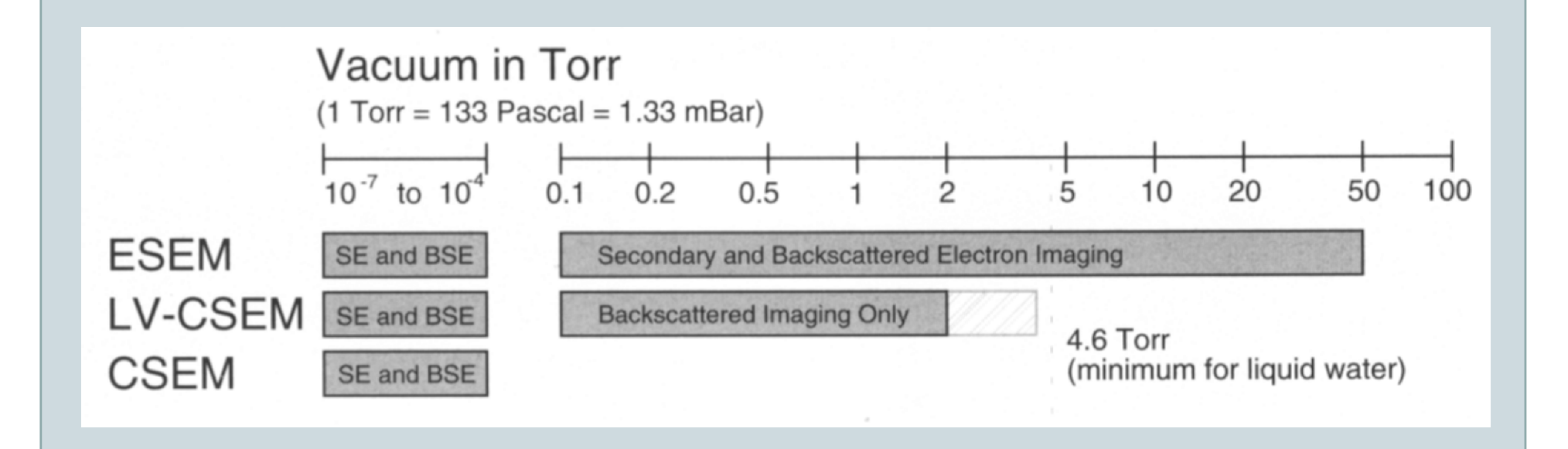
## Ambiental x Baixo Vácuo



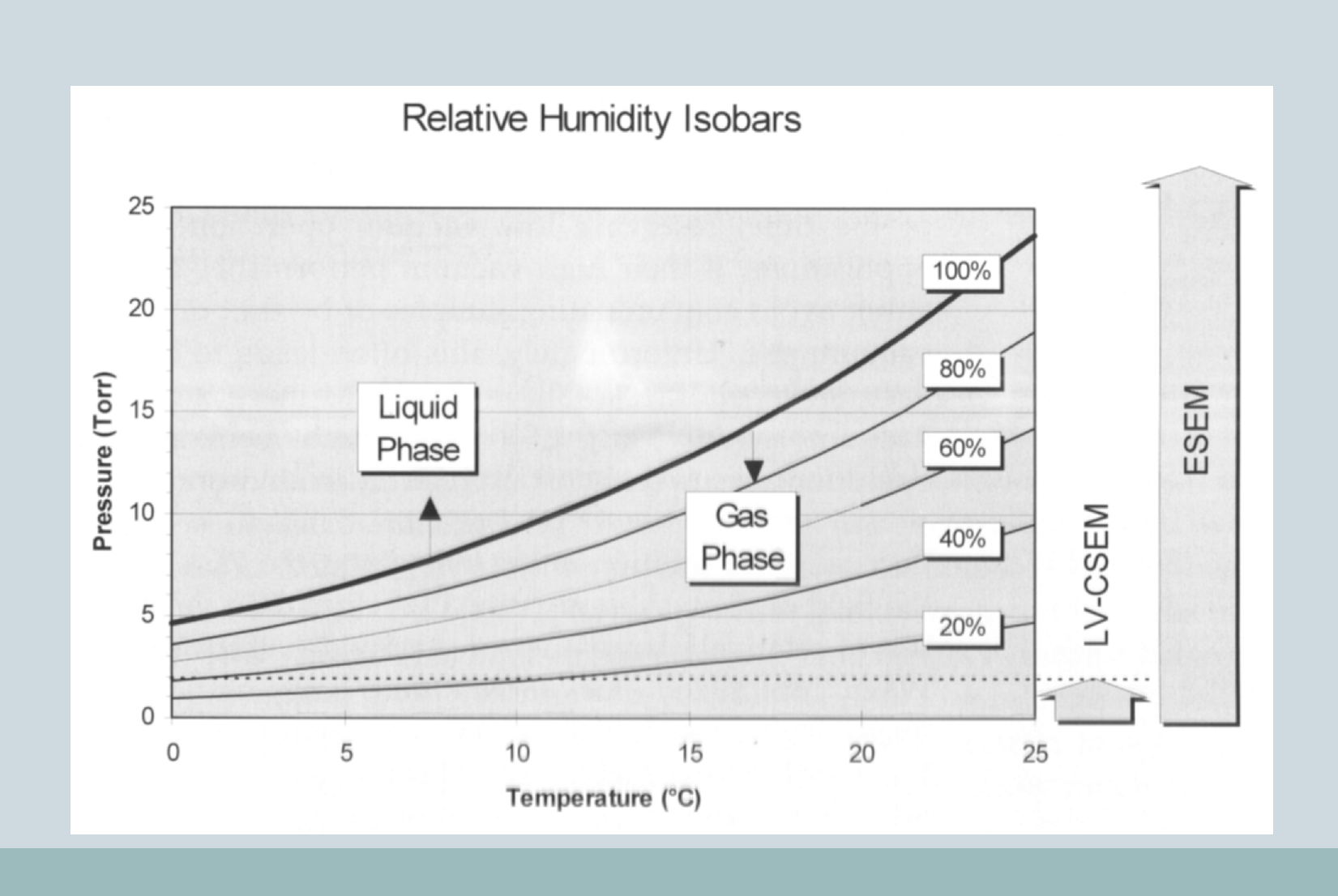


Acc V Spot Magn Det WD | 5 μm 25.0 kV 3.0 5000x GSE 8.4 Wet 4.0 Torr

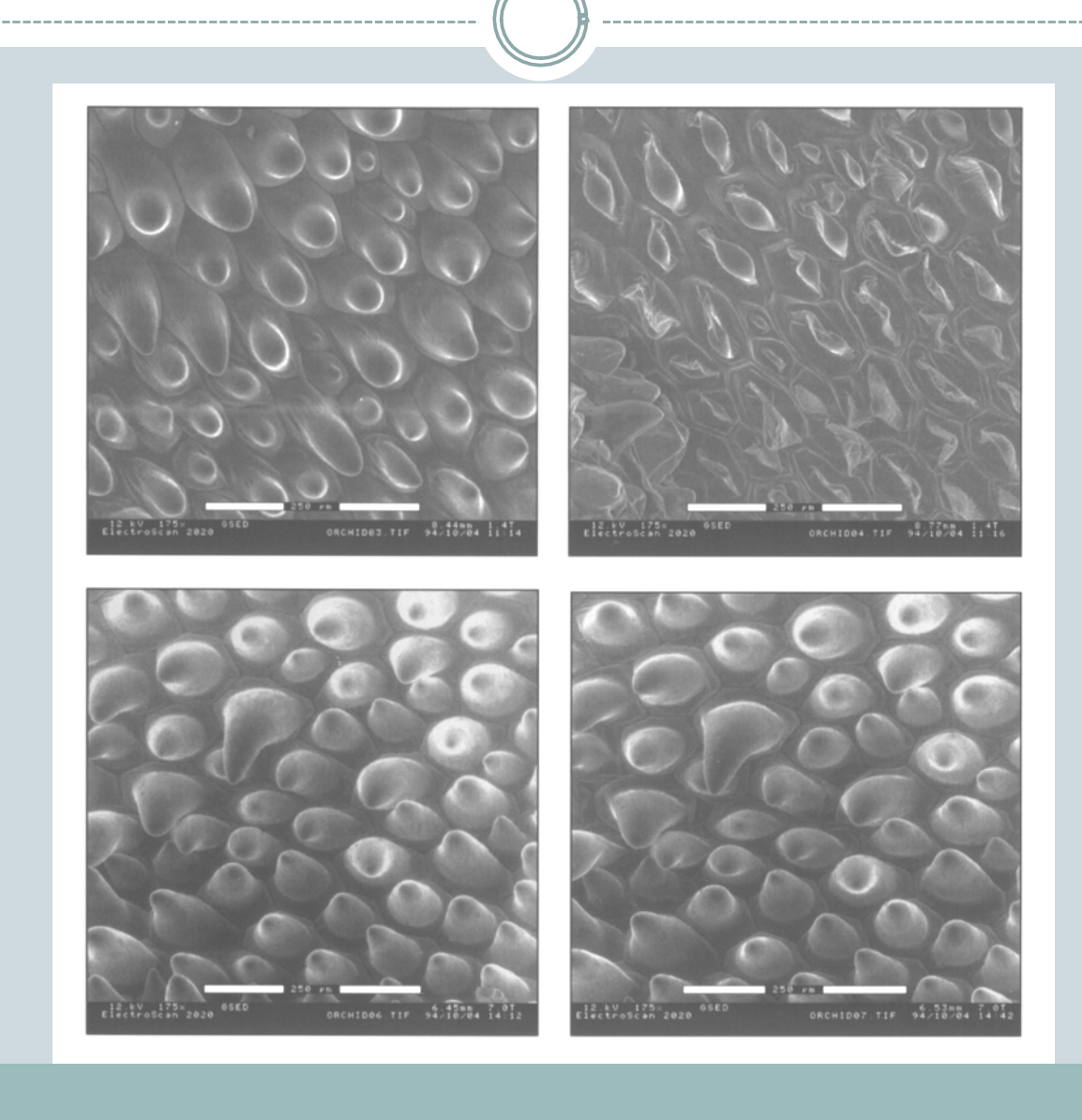
#### Ambiental x Baixo Vácuo



### Ambiental x Baixo Vácuo



# Ambiental x Baixo Vácuo



#### Referências

- Williams, D. B. e Carter, C. B., "Transmission Electron Microscopy", Ed. Plenum, New York, 1996.
- Clarke, A. R. e Eberhardt, C. N., "Microscopy Techniques for Materials Science", Ed.CRC, 2002.
- Apostila da Jeol MET
- Apresentação Jeol EM 2100F
- Apresentação Gatan
- Site EDAX (<u>www.edax.com</u>)
- Site www.x-raymicroanalysis.com



#### André L. Pinto

pinto@cbpf.br

#### Obrigado pela atenção

